

Astronomie v barvách duhy



Astronomický
ústav
AV ČR

Marek Skarka

MUNI
SCI

Astronomický ústav AV ČR & MU Brno, skarka@asu.cas.cz

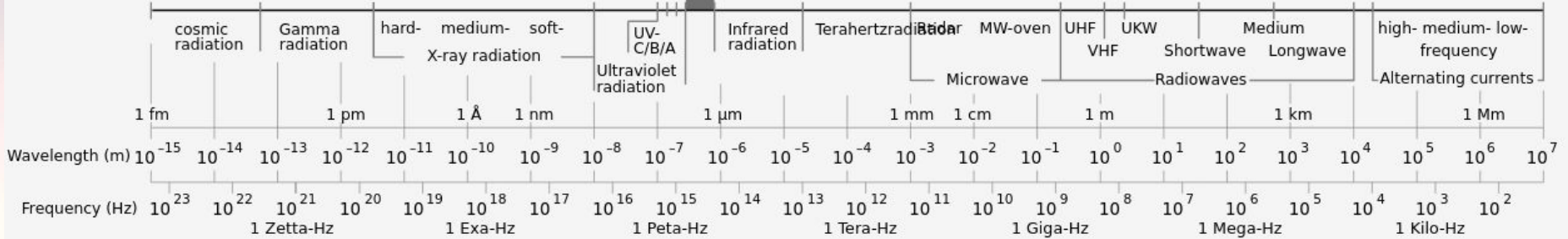
U3V, Brno

4.5.2021

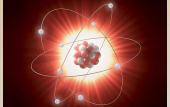


Vznik záření

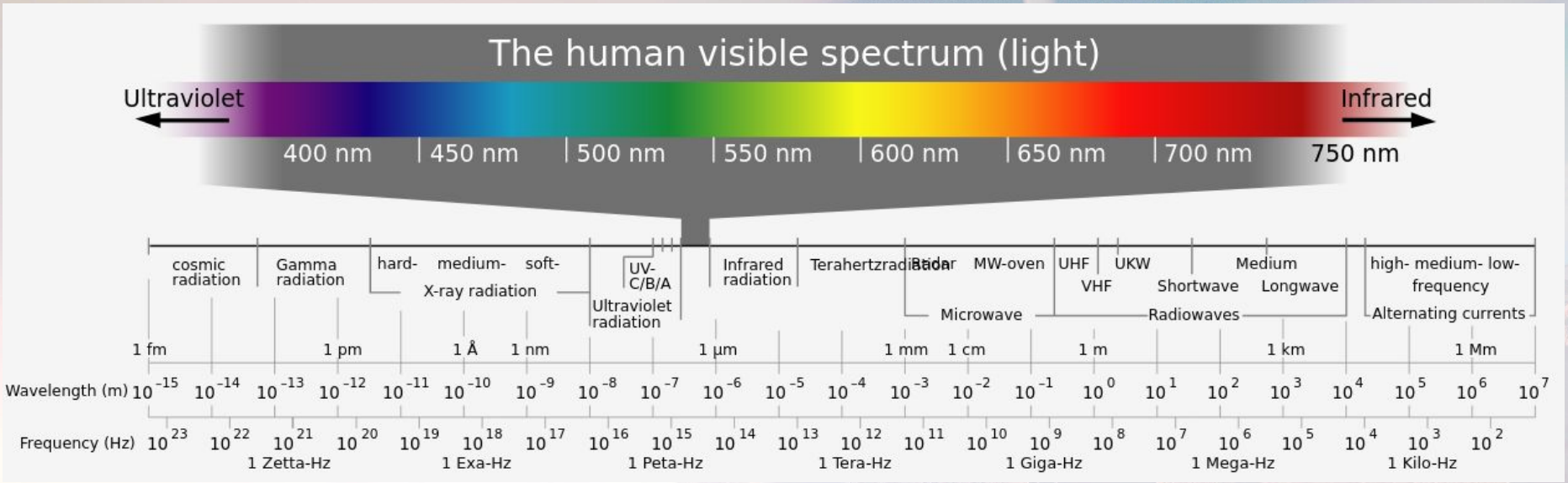
The human visible spectrum (light)



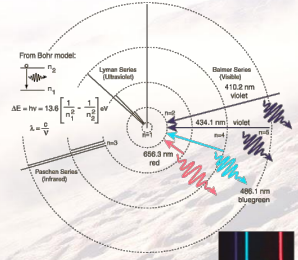
Procesy v atomových jádrech a blízkosti černých děr, splnutí objektů



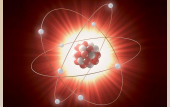
Vznik záření



Procesy v atomových jádrech a blízkosti černých děr, splnutí objektů

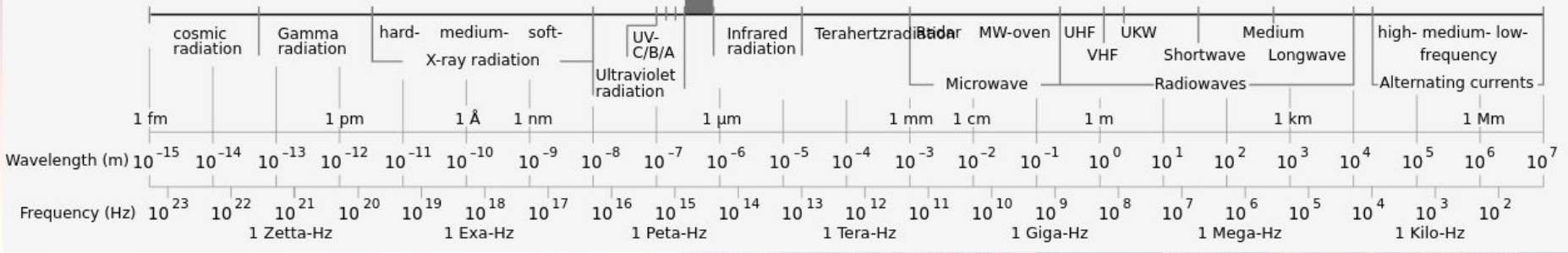


Procesy v atomových obalech

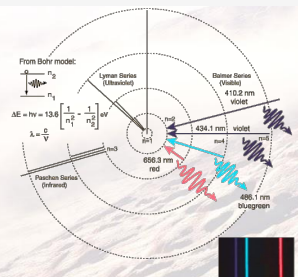


Vznik záření

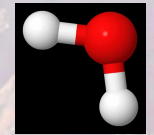
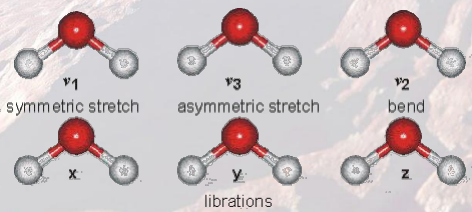
The human visible spectrum (light)



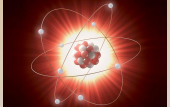
Procesy v atomových jádrech a blízkosti černých děr, splnutí objektů



Procesy v atomových obalech



Vibrace a rotace molekul, procesy na volných elektronech

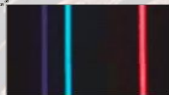
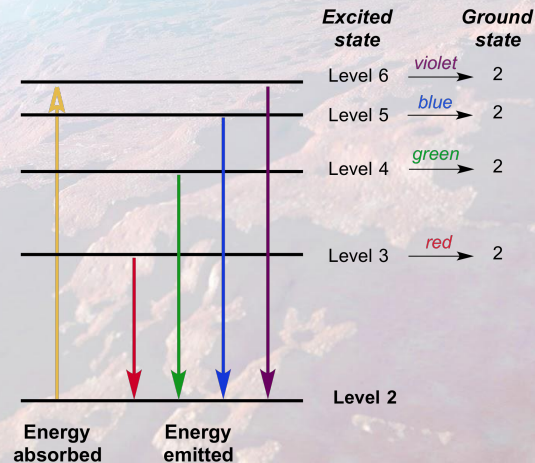
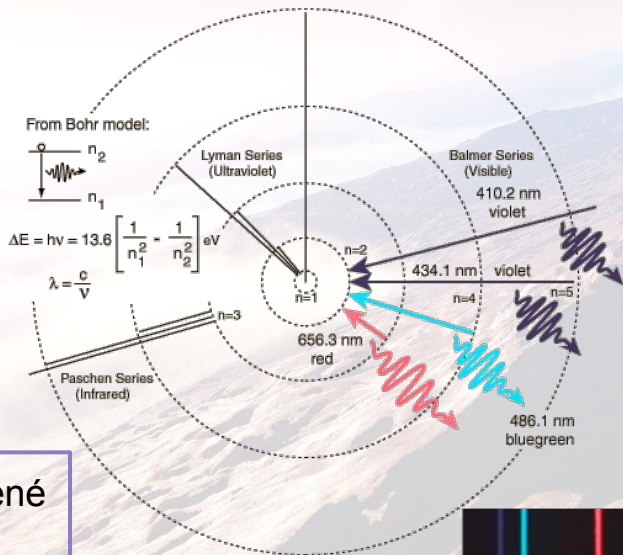
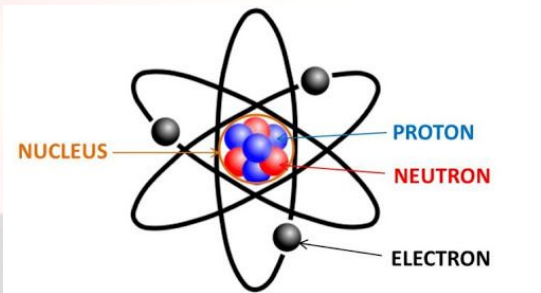


Vznik optického záření

- Záření vzniká v atomech a molekulách změnami jejich energetických stavů
- Elektrony mohou být v atomech pouze v konkrétních stavech energie a momentu hybnosti s určitou orientací (kvantová čísla n, l, m). Při přechodu mezi stavy dochází k vyzáření fotonu s přesně definovanou konkrétní vlnovou délkou

$\Delta E = h \cdot \nu$... frekvence záření ν je definována rozdílem energií jednotlivých stavů
 $c = \lambda \cdot \nu$... vlnová délka λ je s frekvencí ν svázána přes rychlost světla c .

→ Čím větší frekvence, tím kratší vlnová délka, tím větší energie záření



Spektrum: “Množství energie vyzářené na různých vlnových délkách”



Vznik optického záření

- Záření vzniká v atomech a molekulách změnami jejich energetických stavů
- Elektronů mohou být v atomech pouze v konkrétních stavech energie a momentu hybnosti s určitou orientací (kvantová čísla n, l, m). Při přechodu mezi stavy dochází k vyzáření fotonu s přesně definovanou konkrétní vlnovou délkou

$\Delta E = h \cdot \nu$... frekvence záření ν je definována rozdílem energií jednotlivých stavů

$c = \lambda \cdot \nu$... vlnová délka λ je s frekvencí ν svázána přes rychlost světla c .

→ Čím větší frekvence, tím kratší vlnová délka, tím větší energie záření

Hydrogen



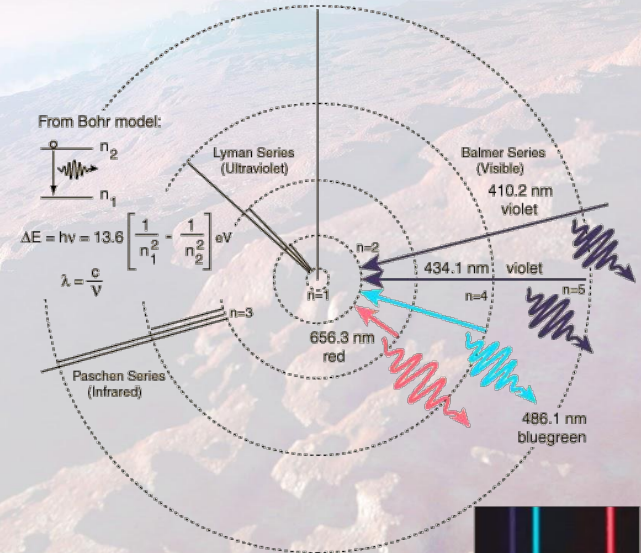
Helium

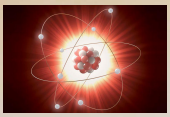


Carbon



Oxygen





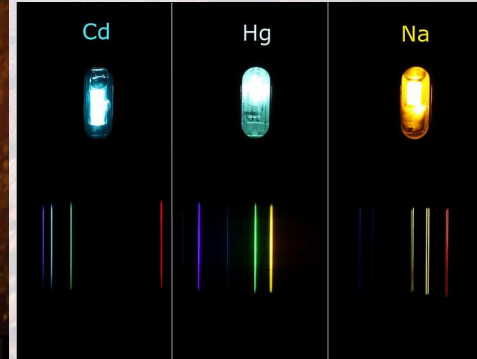
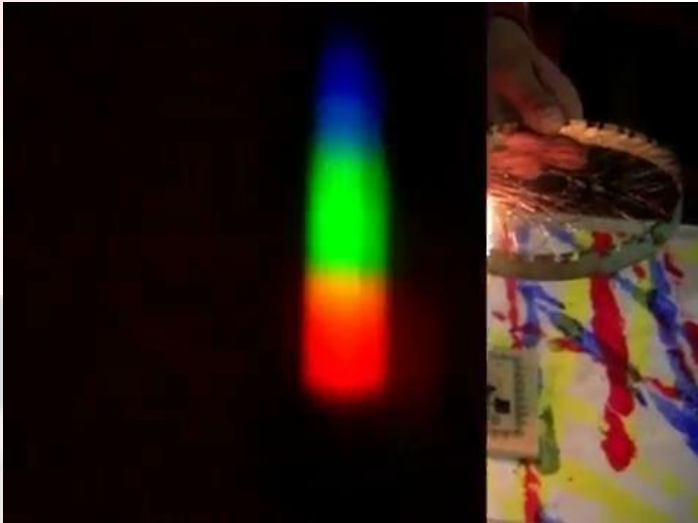
Vznik optického záření

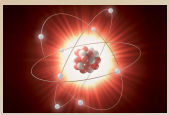
- Záření vzniká v atomech a molekulách změnami jejich energetických stavů
- Elektrony mohou být v atomech pouze v konkrétních stavech energie a momentu hybnosti s určitou orientací (kvantová čísla n, l, m). Při přechodu mezi stavy dochází k vyzáření fotonu s přesně definovanou konkrétní vlnovou délkou

$\Delta E = h \cdot \nu$... frekvence záření ν je definována rozdílem energií jednotlivých stavů

$c = \lambda \cdot \nu$... vlnová délka λ je s frekvencí ν svázána přes rychlost světla c .

→ Čím větší frekvence, tím kratší vlnová délka, tím větší energie záření





Vznik optického záření

- Záření vzniká v atomech a molekulách změnami jejich energetických stavů
- Elektrony mohou být v atomech pouze v konkrétních stavech energie a momentu hybnosti s určitou orientací (kvantová čísla n, l, m). Při přechodu mezi stavy dochází k vyzáření fotonu s přesně definovanou konkrétní vlnovou délkou

$\Delta E = h \cdot \nu$... frekvence záření ν je definována rozdílem energií jednotlivých stavů

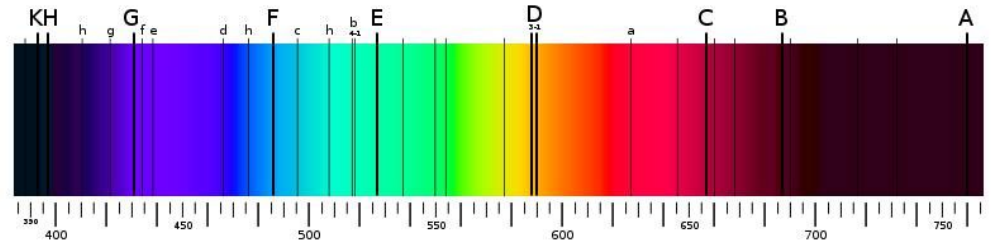
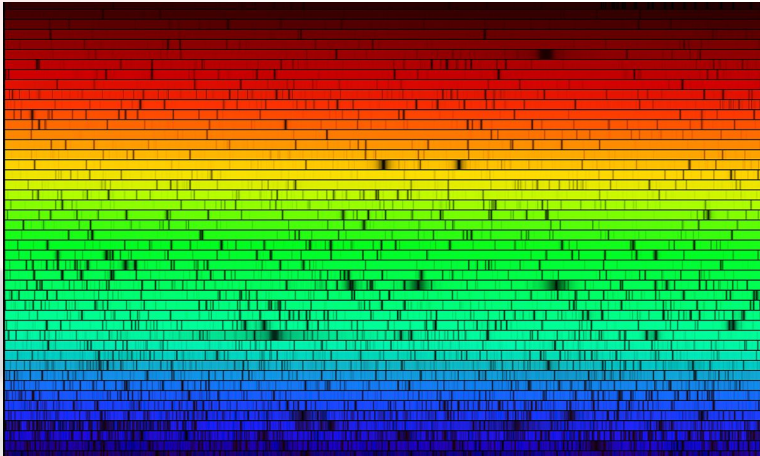
$c = \lambda \cdot \nu$... vlnová délka λ je s frekvencí ν svázána přes rychlost světla c .

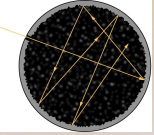
→ Čím větší frekvence, tím kratší vlnová délka, tím větší energie záření



Z přítomnosti záření na konkrétních vlnových délkách můžeme zjistit něco o přítomnosti různých chemických prvků

Robert Bunsen, Gustav Kirchhoff, Joseph von Fraunhofer
- vznik astrofyziky v první polovině 19. století





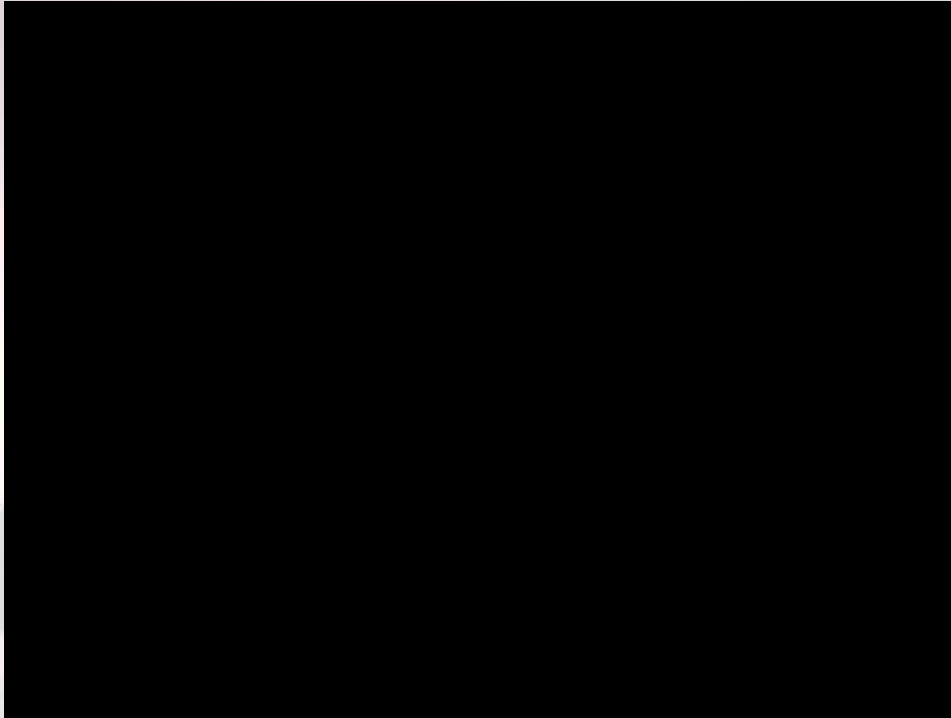
Jak hmota září

$$B(T, \lambda) = \frac{2hc^2}{\lambda^5} \frac{1}{e^{\frac{hc}{\lambda kT}} - 1}$$

- Každé těleso září v přibližně jako absolutně černé těleso
= těleso jehož vyzařování je plně definováno jeho teplotou

$$L = 4\pi\sigma R_*^2 T_{\text{eff}}^4$$

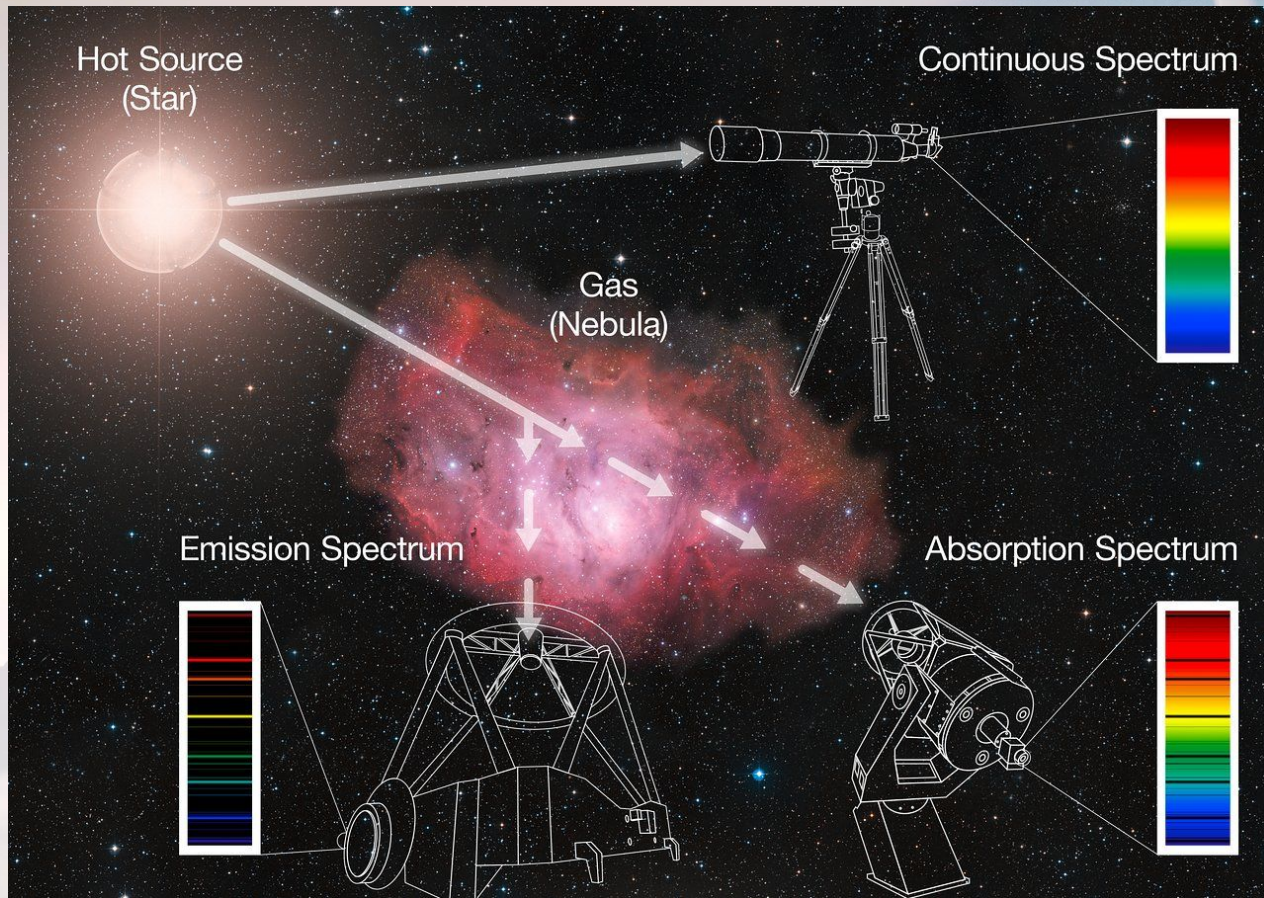
$$\lambda_{\text{max}} T = b = 2.897 \cdot 10^{-3} \text{ m K}$$



Čím teplejší je těleso, tím “modřejší” se nám jeví

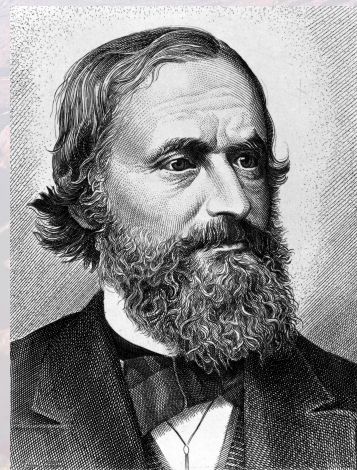


Jak hmota září

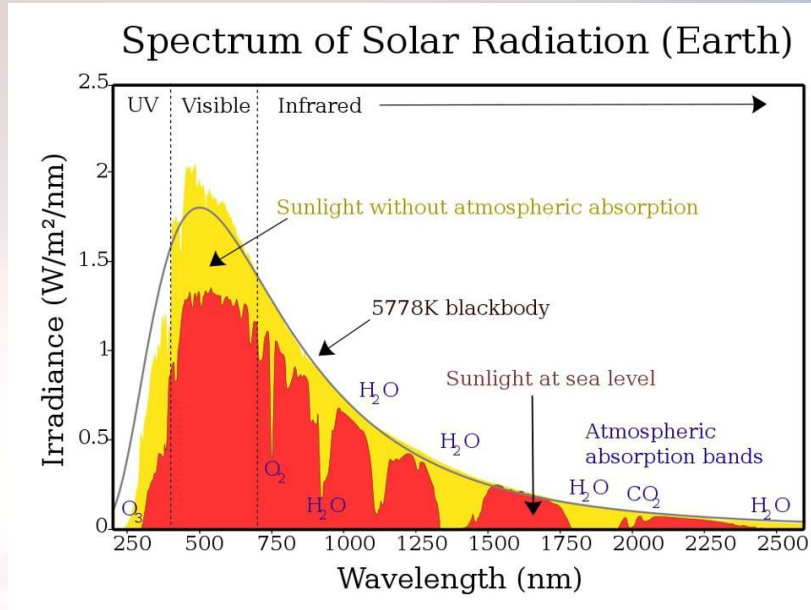


Kirchhoffovy zákony:

1. Pevná látka, kapalina nebo hustý plyn vyzařuje na všech vlnových délkách a vytváří tak spojité spektrum.
2. Horký řídký plyn září emisním spektrem
3. Chladný plyn při průchodu spojitěho spektra vytváří absorpční spektrum

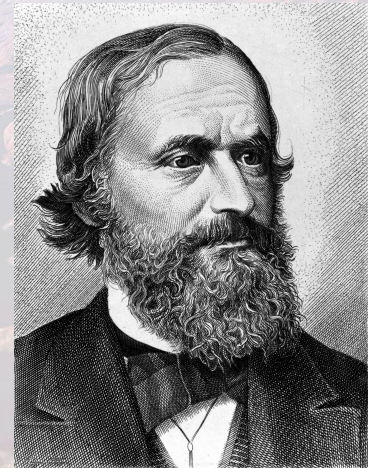


Jak hmota září



Kirchhoffovy zákony:

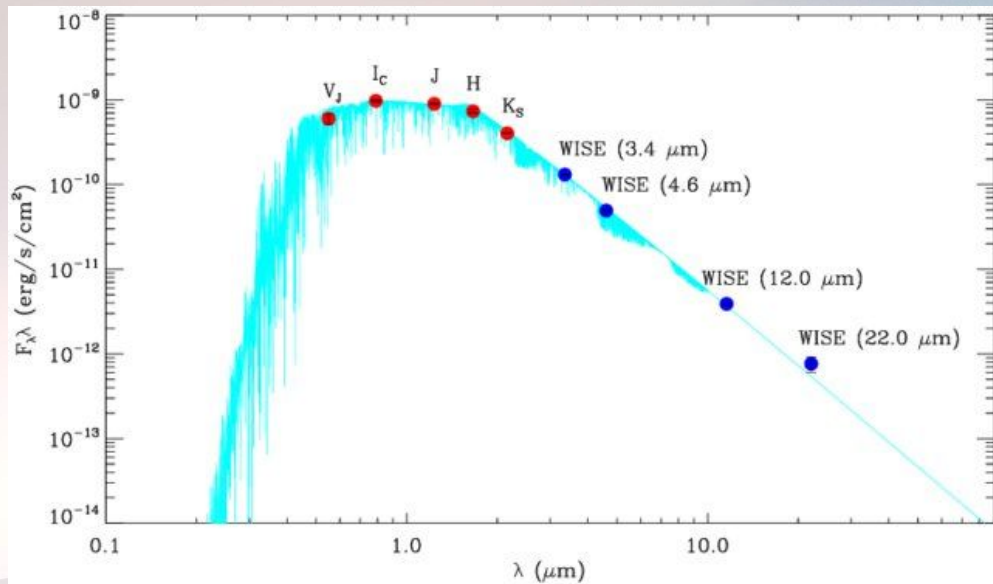
1. Pevná látka, kapalina nebo hustý plyn vyzařuje na všech vlnových délkách a vytváří tak spojité spektrum.
2. Horký řídký plyn září emisním spektrem
3. Chladný plyn při průchodu spojitého spektra vytváří absorpční spektrum



Hvězdy září jako absolutně černá tělesa v kombinaci s emisními čarami (horký materiál v okolí hvězdy) a absorpčními čarami (chladnější atmosféra hvězdy)

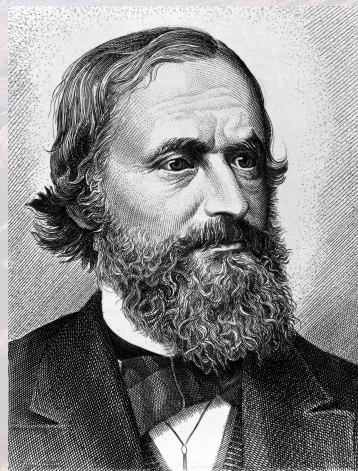
Výzkumem celkového záření hvězd můžeme zjistit teplotu hvězdy, z přítomnosti spektrálních čar můžeme odhadnout chemické složení atmosféry a povrchových vrstev

Jak hmota září



Kirchhoffovy zákony:

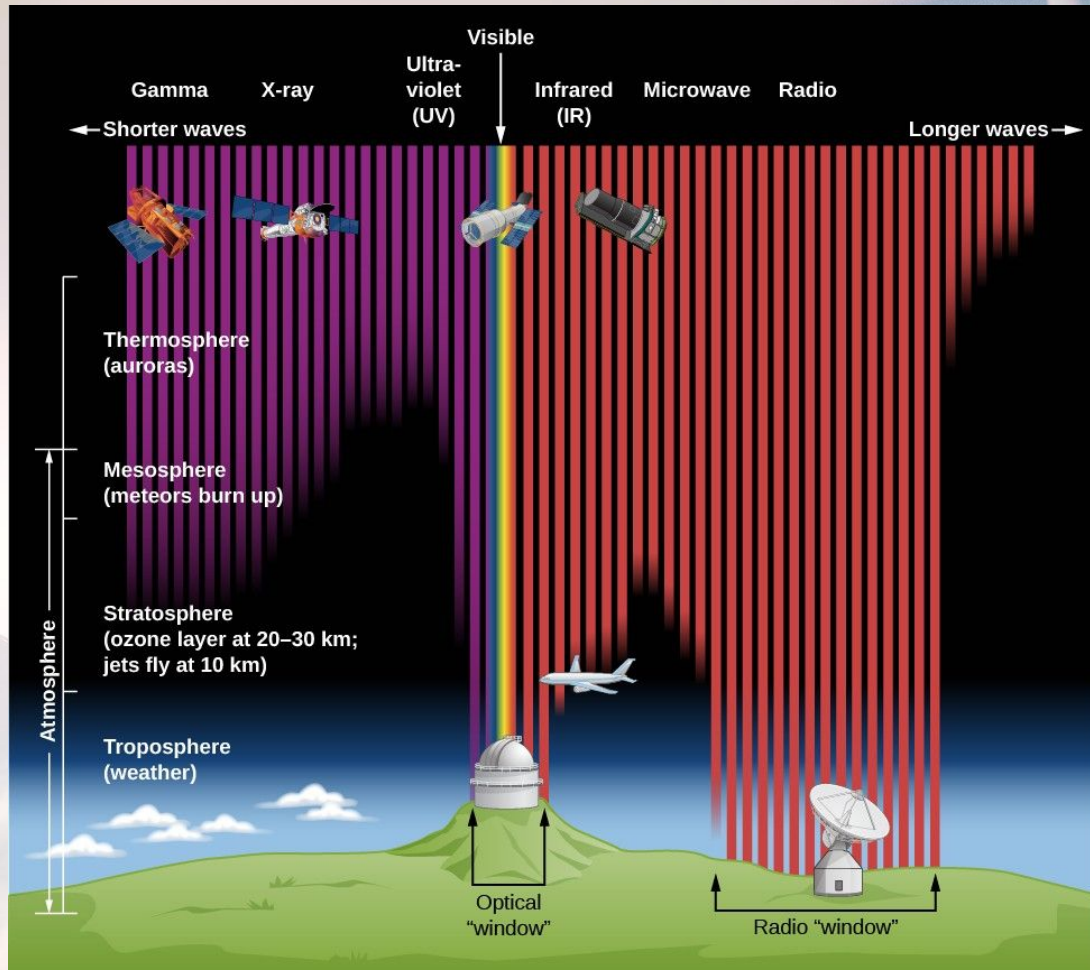
1. Pevná látka, kapalina nebo hustý plyn vyzařuje na všech vlnových délkách a vytváří tak spojité spektrum.
2. Horký řídký plyn září emisním spektrem
3. Chladný plyn při průchodu spojitého spektra vytváří absorpční spektrum



Hvězdy září jako absolutně černá tělesa v kombinaci s emisními čarami (horký materiál v okolí hvězdy) a absorpčními čarami (chladnější atmosféra hvězdy)

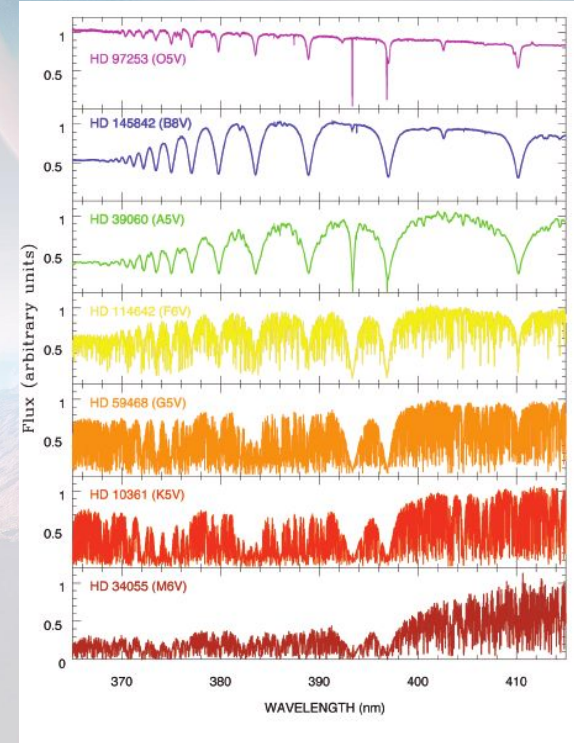
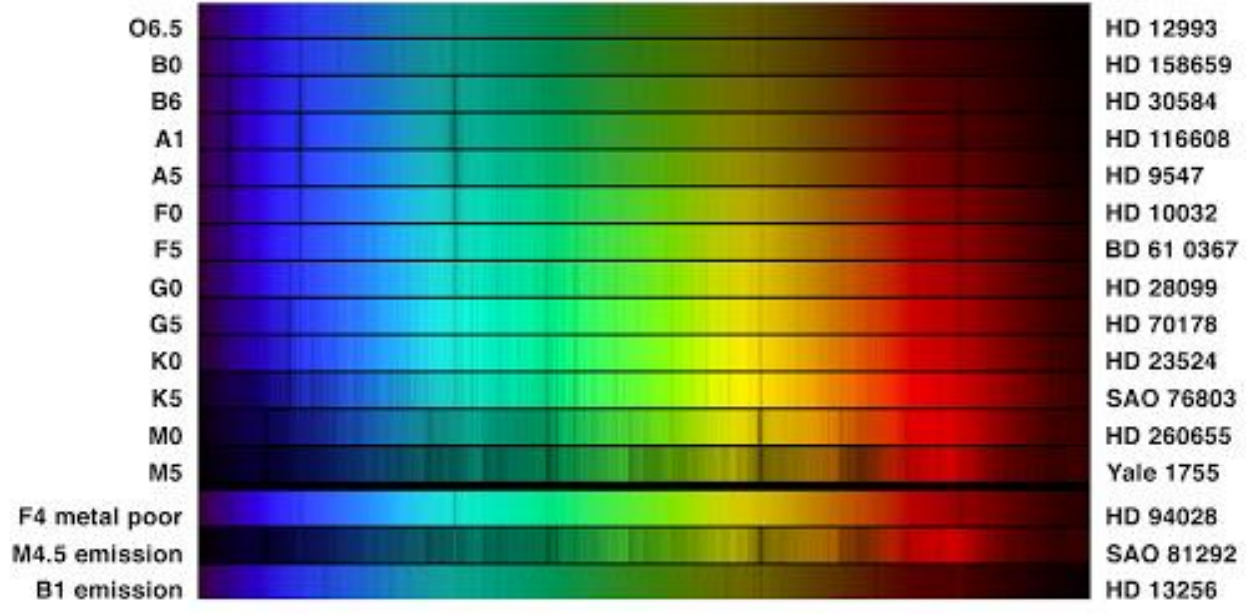
Výzkumem celkového záření hvězd můžeme zjistit teplotu hvězdy, z přítomnosti spektrálních čar můžeme odhadnout chemické složení atmosféry a povrchových vrstev

Co můžeme zjistit ze spekter



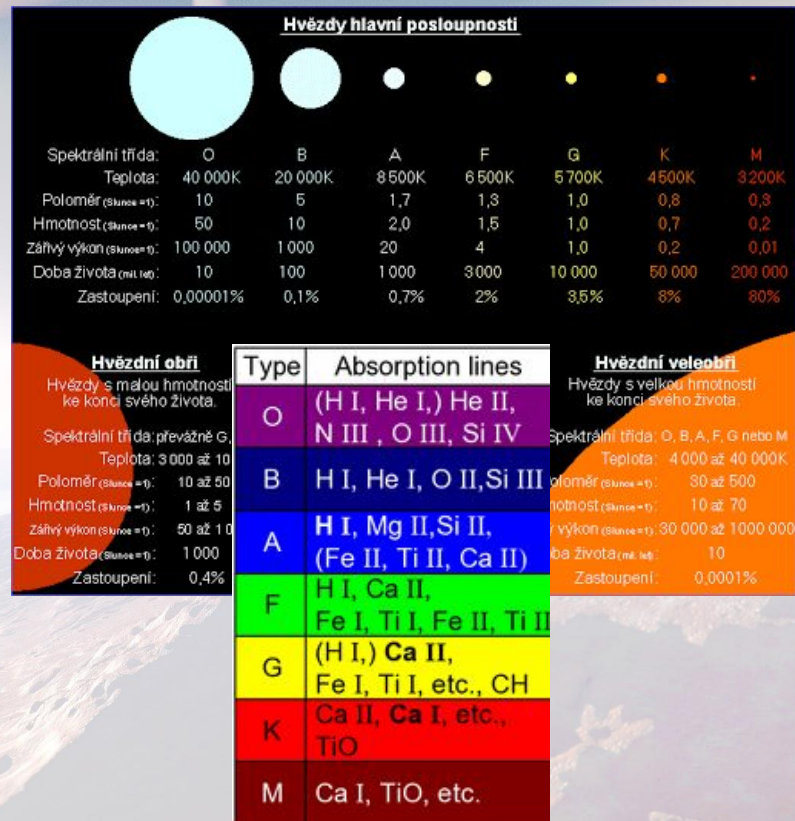
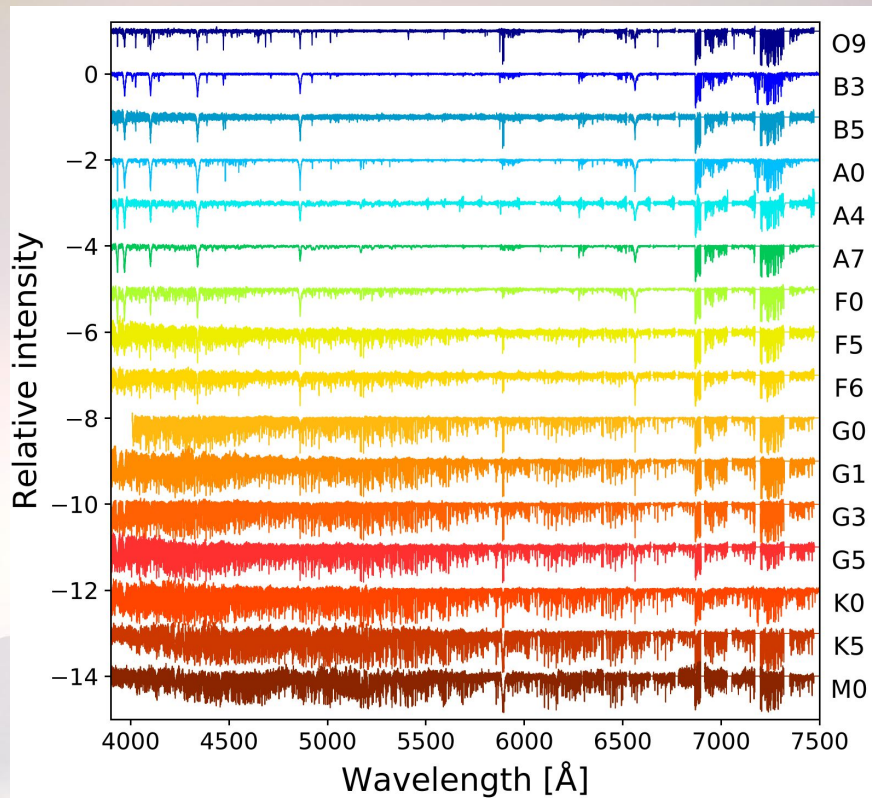
Zemská atmosféra silně
limituje možnosti
spektroskopických
pozorování pouze na část
UV, VIS, IR a rádiovou
oblast

Co můžeme zjistit ze spekter



Spektra různých typů hvězd se liší jak v průběhu spektra a jeho intenzitě, tak v přítomnosti, počtu a síle absorpčních/emisních čar => dáno především teplotou => spektrální klasifikace hvězd

Co můžeme zjistit ze spekter



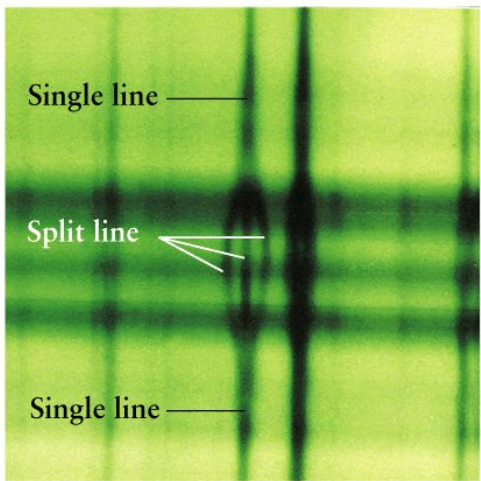
Spektra různých typů hvězd se liší jak v průběhu spektra a jeho intenzitě, tak v přítomnosti, počtu a síle absorpčních/emisních čar => dáno především teplotou => spektrální klasifikace hvězd

Co můžeme zjistit ze spekter

Vzhled spektra kromě teploty dále ovlivňuje:

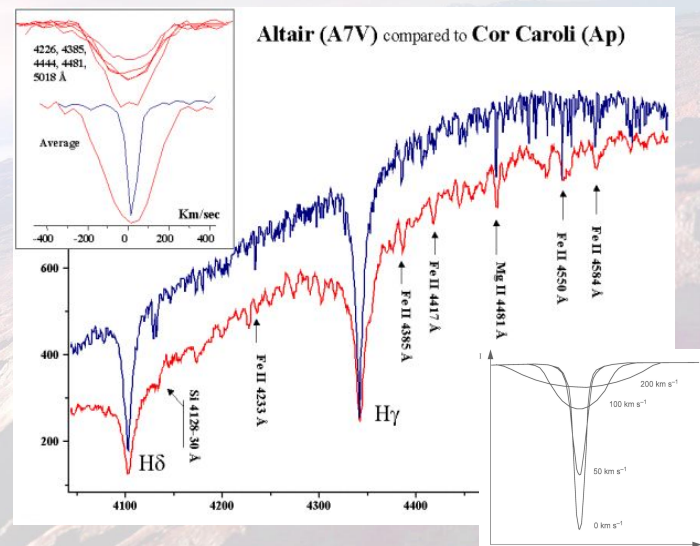
- Gravitační zrychlení na povrchu (široké čáry u hvězd s velkým $\log g$)
- Rotace hvězdy (rozšíření čar vlivem Dopplerova jevu)
- Chemické složení (různá síla čar)
- Vlastní pohyb hvězdy (posun čar vlivem Dopplerova jevu)
- Přítomnost souputníka (dvojhvězdy, exoplanety)
- Okolohvězdný materiál
- Magnetická pole
- ...

+instrumentální jevy



b

Vliv rychlosti rotace hvězdy



Co můžeme zjistit ze spekter

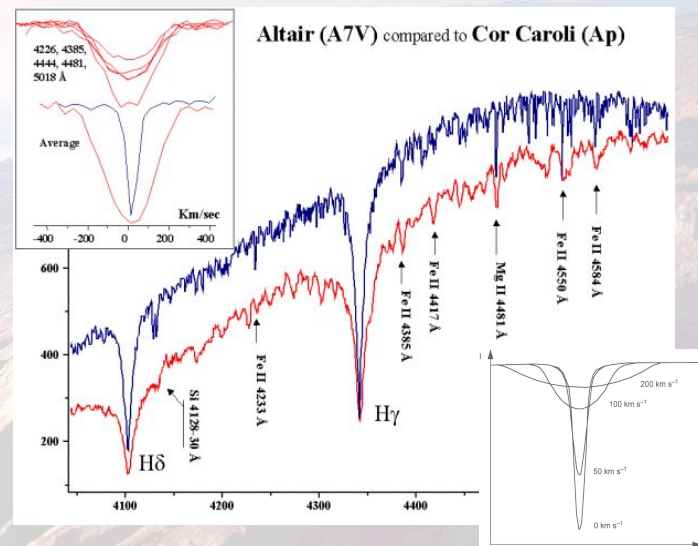
Vzhled spektra kromě teploty dále ovlivňuje:

- Gravitační zrychlení na povrchu (široké čáry u hvězd s velkým $\log g$)
- Rotace hvězdy (rozšíření čar vlivem Dopplerova jevu)
- Chemické složení (různá síla čar)
- Vlastní pohyb hvězdy (posun čar vlivem Dopplerova jevu)
- Přítomnost souputníka (dvojhvězdy, exoplanety)
- Okolohvězdný materiál
- Magnetická pole
- ...

+instrumentální jevy

Vliv rychlosti rotace hvězdy

Jak získáme spektrum?



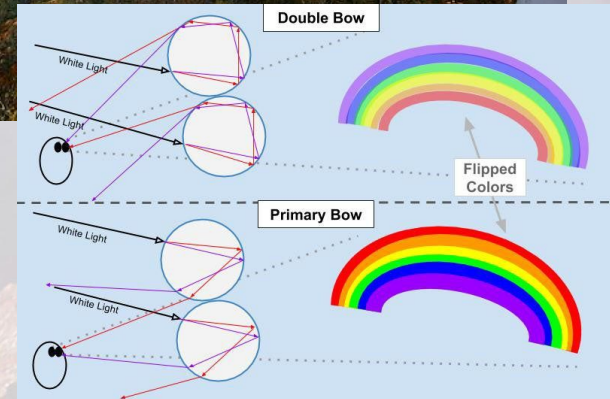
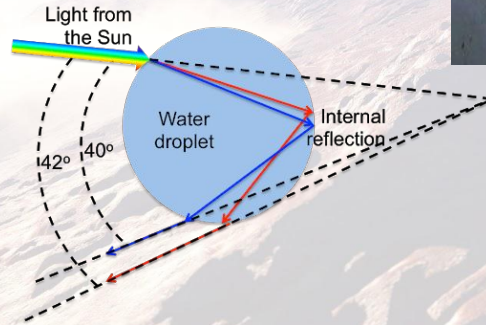
Jak získat spektrum



Jak získat spektrum

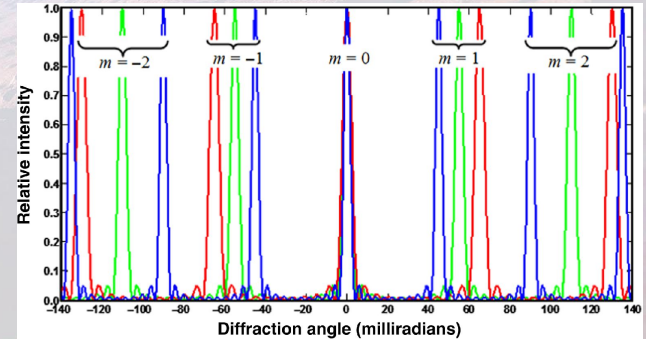
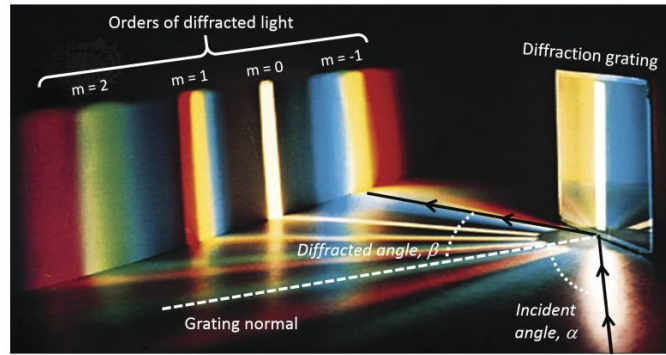
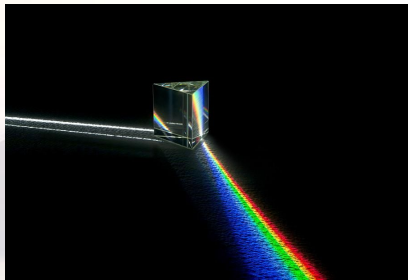
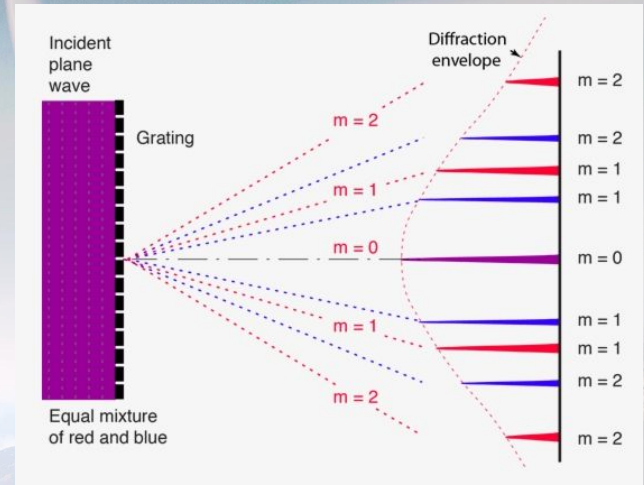
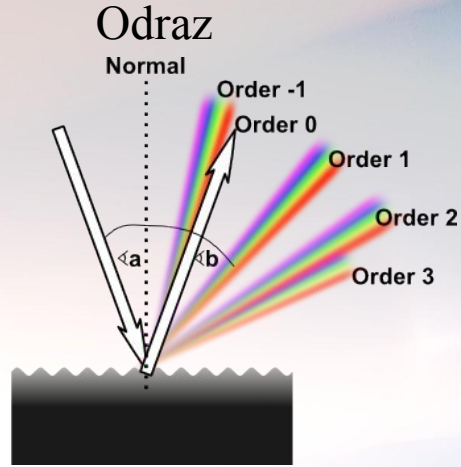
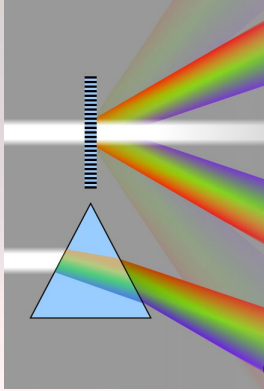


Díky rozdílnému indexu lomu pro různé barvy se světlo na vodních kapkách rozkládá do spektra v podobě duhy

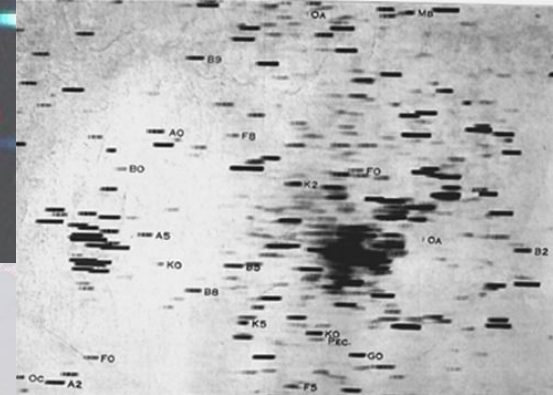
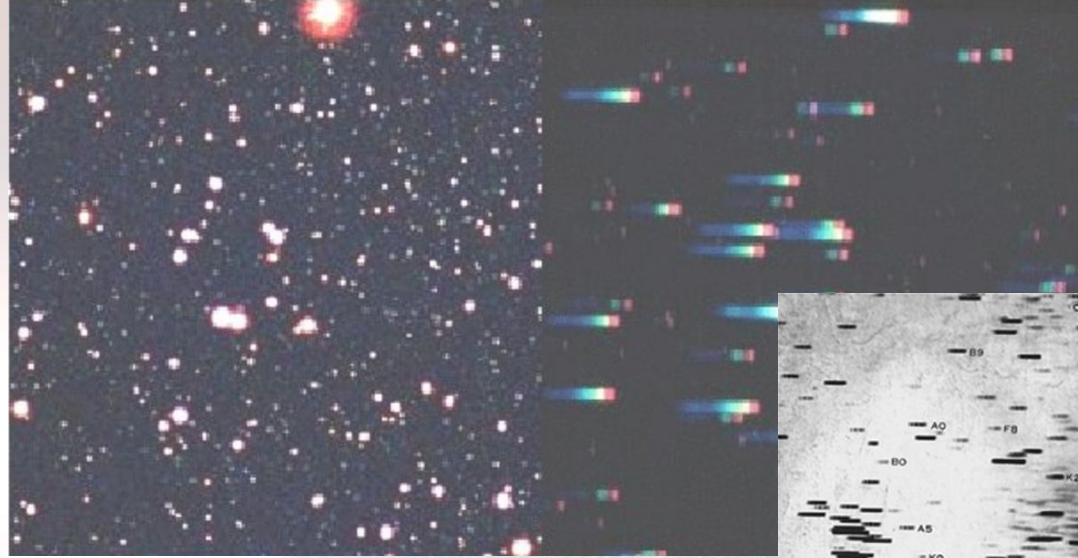


Jak získat spektrum

Lom a ohyb

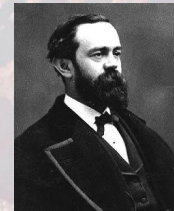


Jak získat spektrum



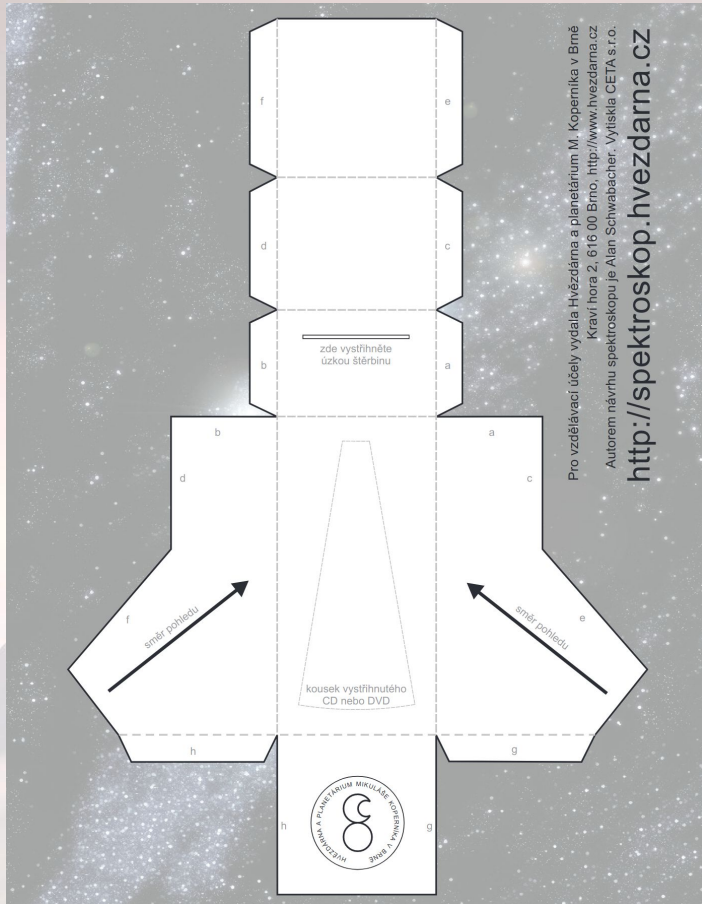
Spektrum mnoha objektů najednou s pomocí objektivového hranolu

=> první katalogy spektrálních typů na začátku 20. Století (Henry Draper catalogue)



Jak získat spektrum

<http://www.pise.cz/blog/ftp/fyzmatik/spektroskop.pdf>

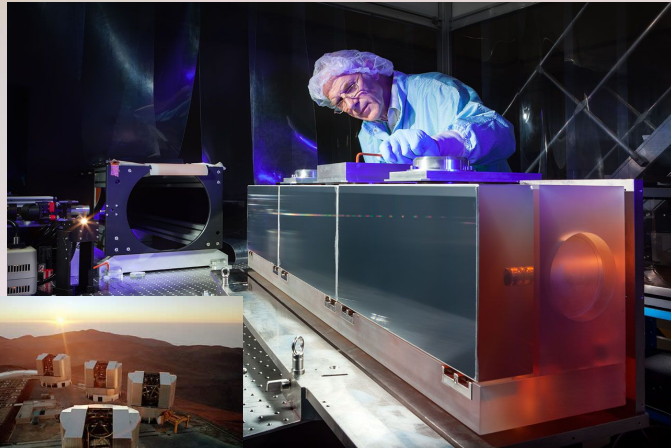


Rozkladem na mřížce - mřížkové
spektrografy



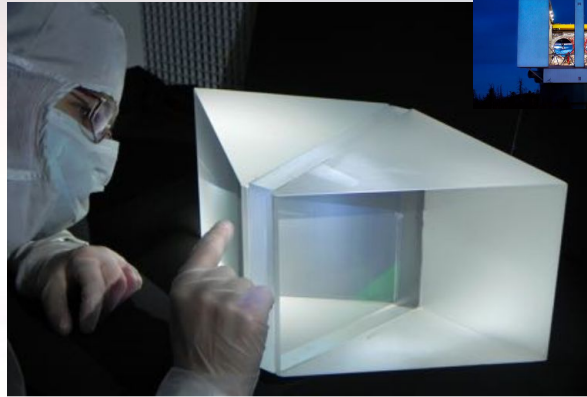
Jak získat spektrum

Rozkladem na mřížce - mřížkové spektrografy



ESPRESSO@VLT, Chile

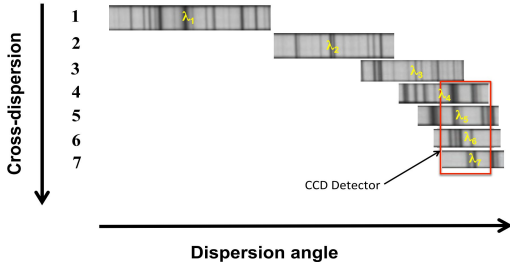
PEPSI@LBT, USA



HARPS@3.6m, Chile

Echelletové spektrografy umožňují pozorování v širokém rozsahu vlnových délek při velkém rozlišení

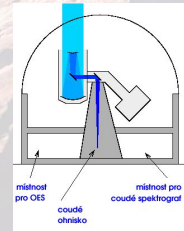
Order



Ondřejovský Ešeletový Spektrograf - OES

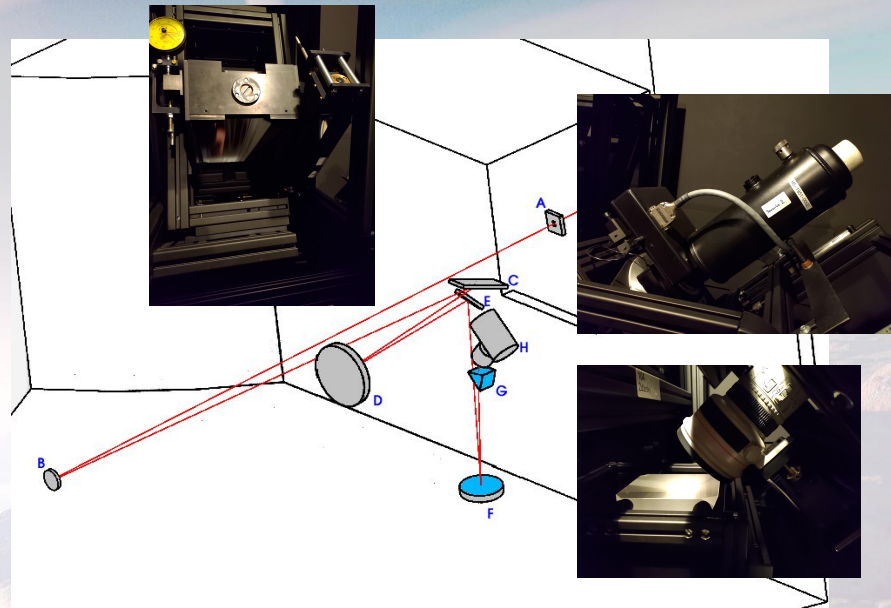


Od roku 2005 v coudé ohnisku 2-m Perkova dalekohledu AsÚ AV ČR v Ondřejově
2019 - světlo vedeno vláknem



- detektor chlazen dusíkem
- stabilní teplota ± 0.5 K
- $\sim 3800-9100$ Å)
- $R=N/\Delta\lambda \sim 40000-77000$

Ondřejovský Ešeletový Spektrograf - OES



A - stěrba 0.6 mm

B, F - kolimátory

C - mřížka (420x165 mm, 54.5 mm^{-1} , $\Theta_B = 69^\circ$)

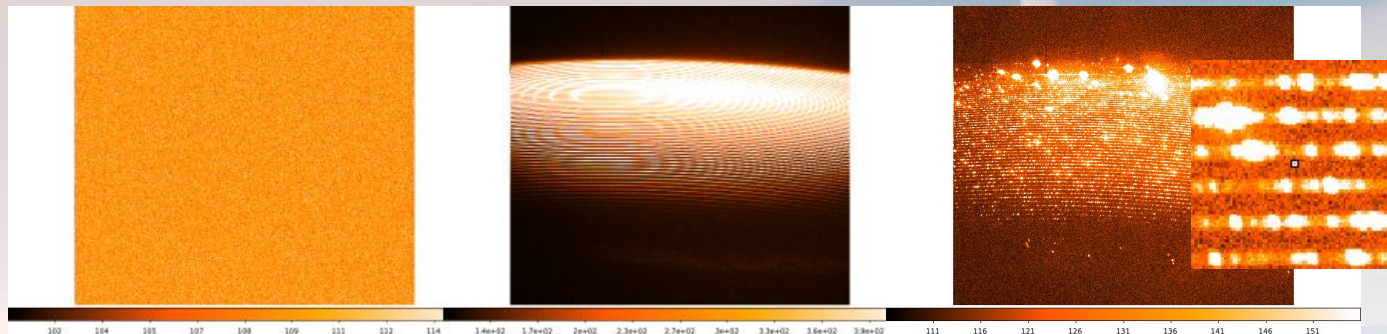
D - parabolické zrcadlo

E - rovinné zrcadlo

G - Cross dispersor (hranol)

H - objektiv (CANON EF 200 f1.8)+ detektor (CCD EEV 2048)

Od pozorování k finálnímu spektru

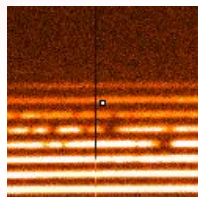


Bias → mbias

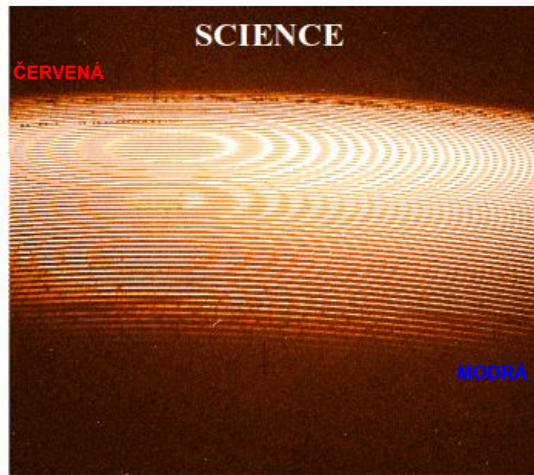
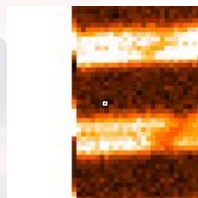
flat → mflat

comp

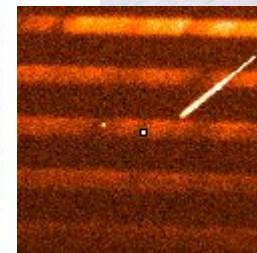
vadné pixely



okraje

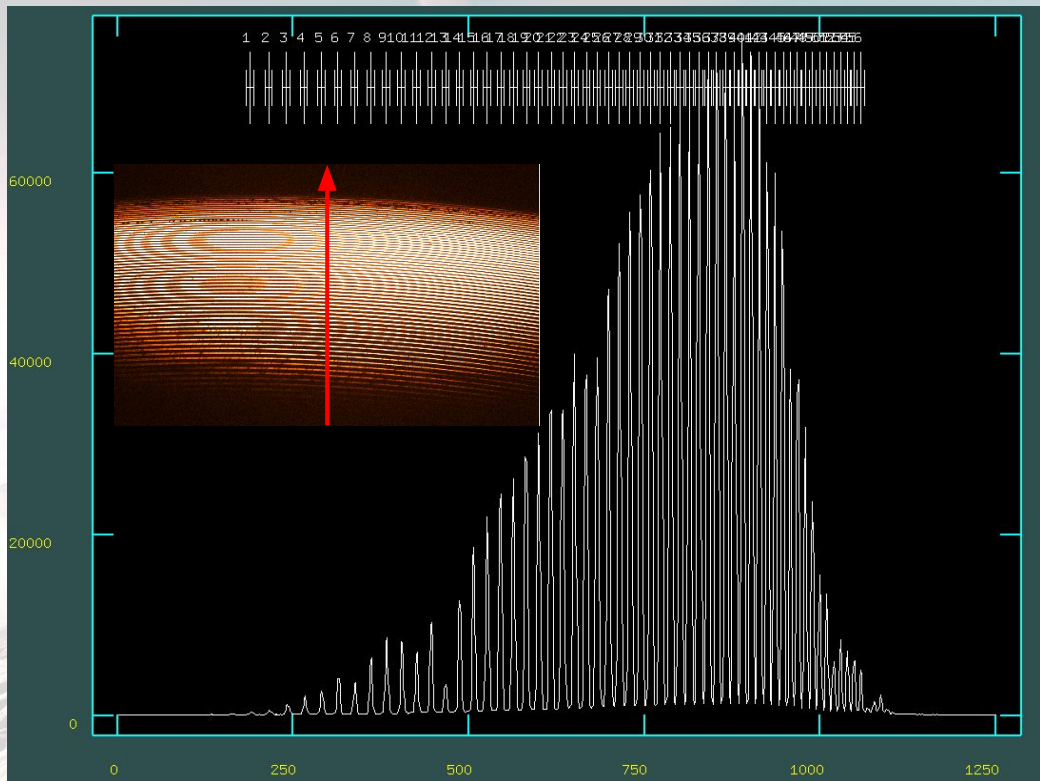
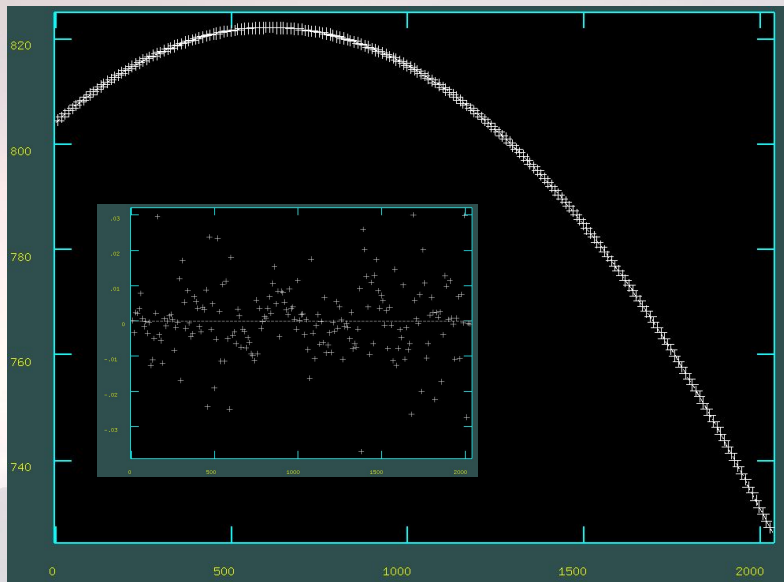


kosmíky



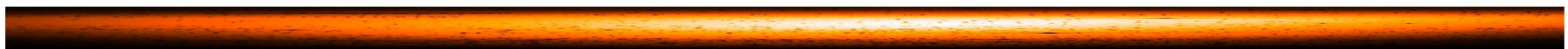
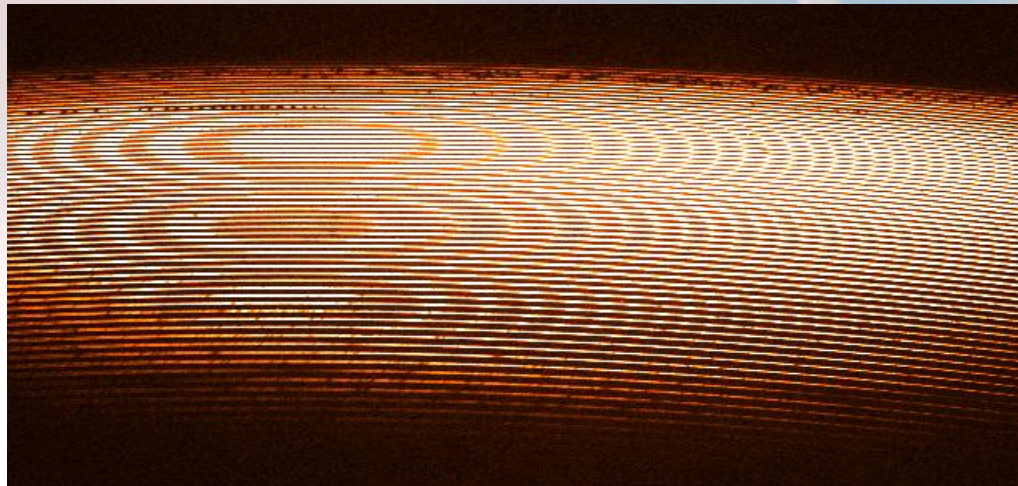
Od pozorování k finálnímu spektru

Extrakce apertur - identifikovat řády a extrahovat tok v jednotlivých řádech



Od pozorování k finálnímu spektru

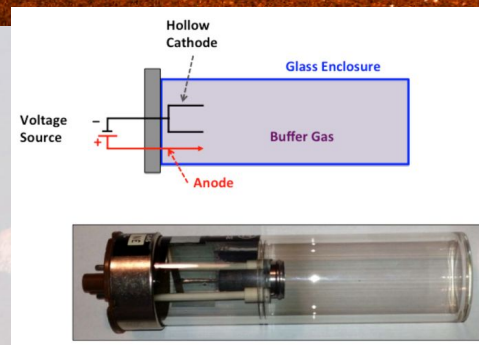
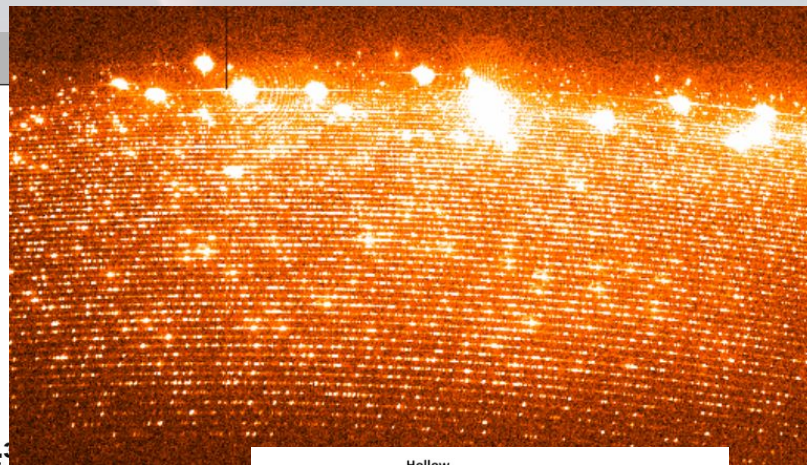
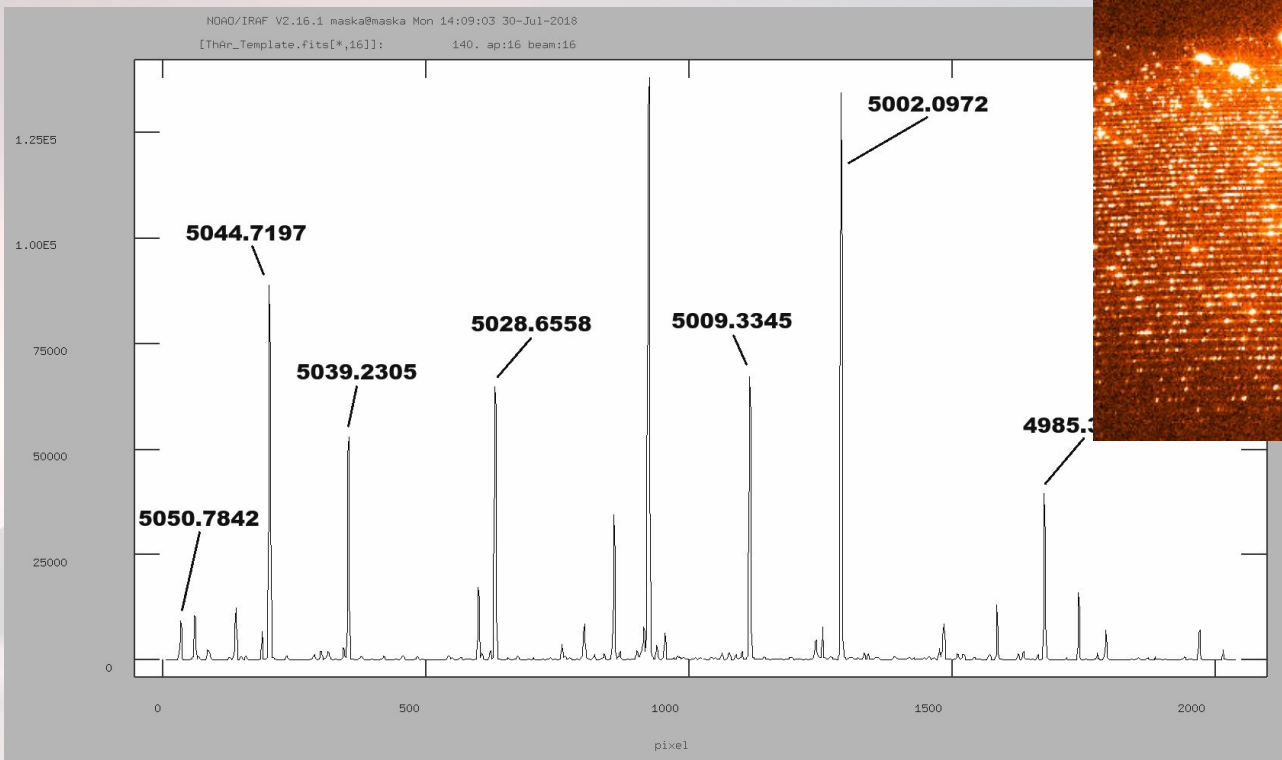
Extrakce apertur



Od pozorování k finálnímu spektru

Vlnová kalibrace: pixely \rightarrow vlnové délky

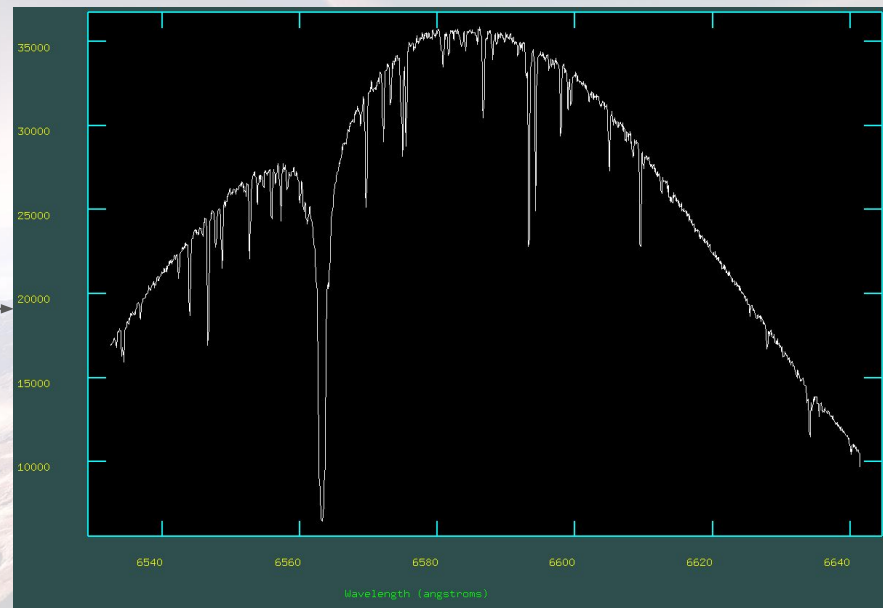
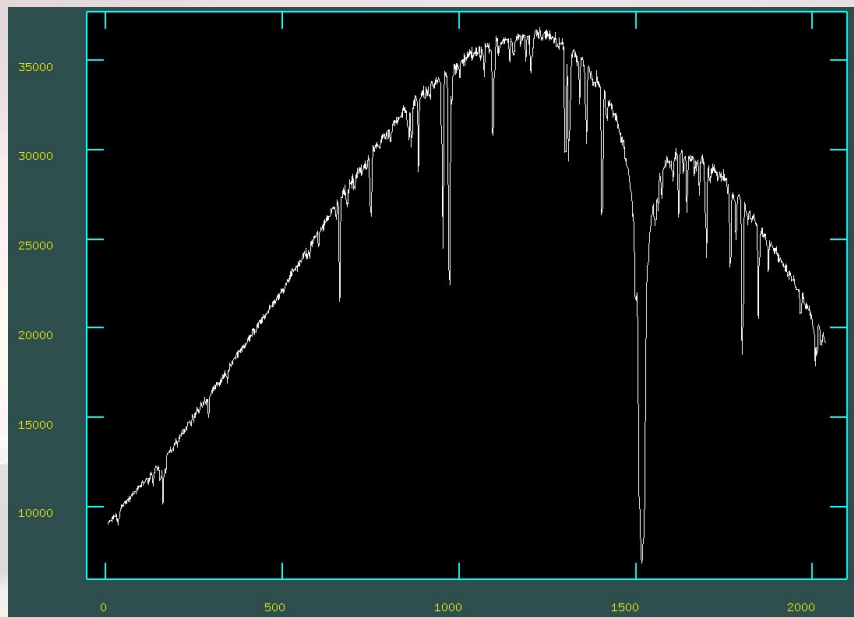
Pomocí ThAr spektra. Je nutné identifikovat desítky čar přes celé spektrum, nejlépe v každém řádu.



Od pozorování k finálnímu spektru

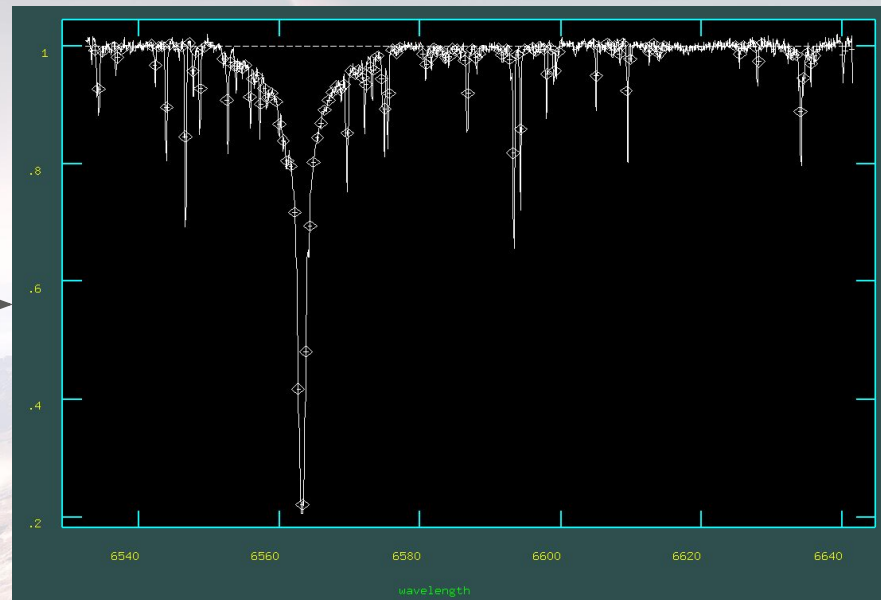
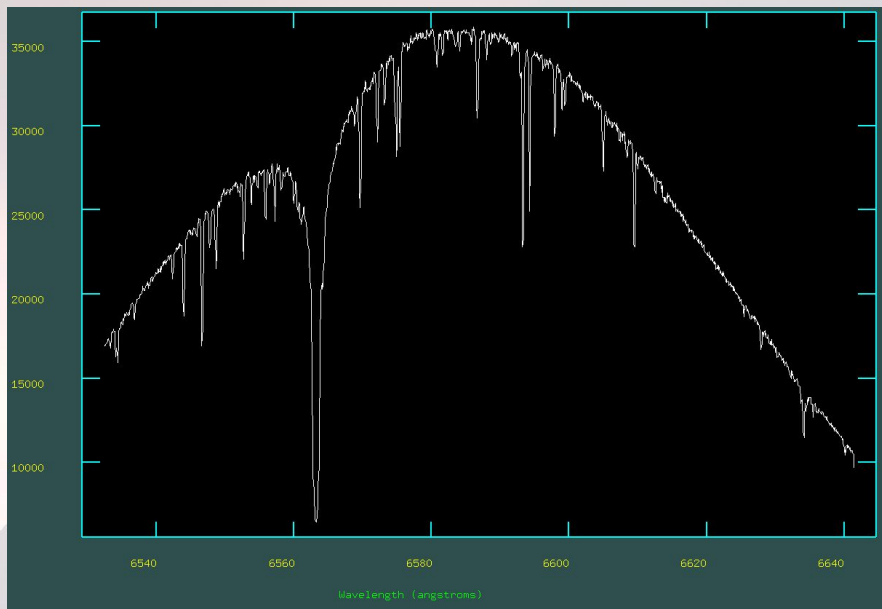
Vlnová kalibrace: pixely \rightarrow vlnové délky

Pomocí ThAr spektra. Je nutné identifikovat desítky čar přes celé spektrum, nejlépe v každém řádu.



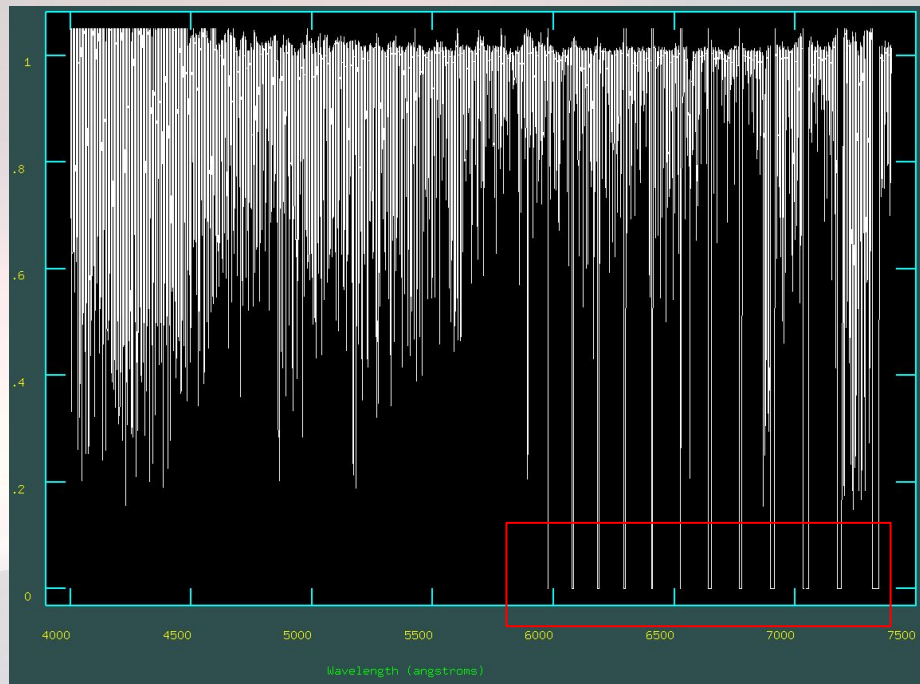
Od pozorování k finálnímu spektru

Normalizace kontinua - problém u širokých čar a u širokých absorpcí

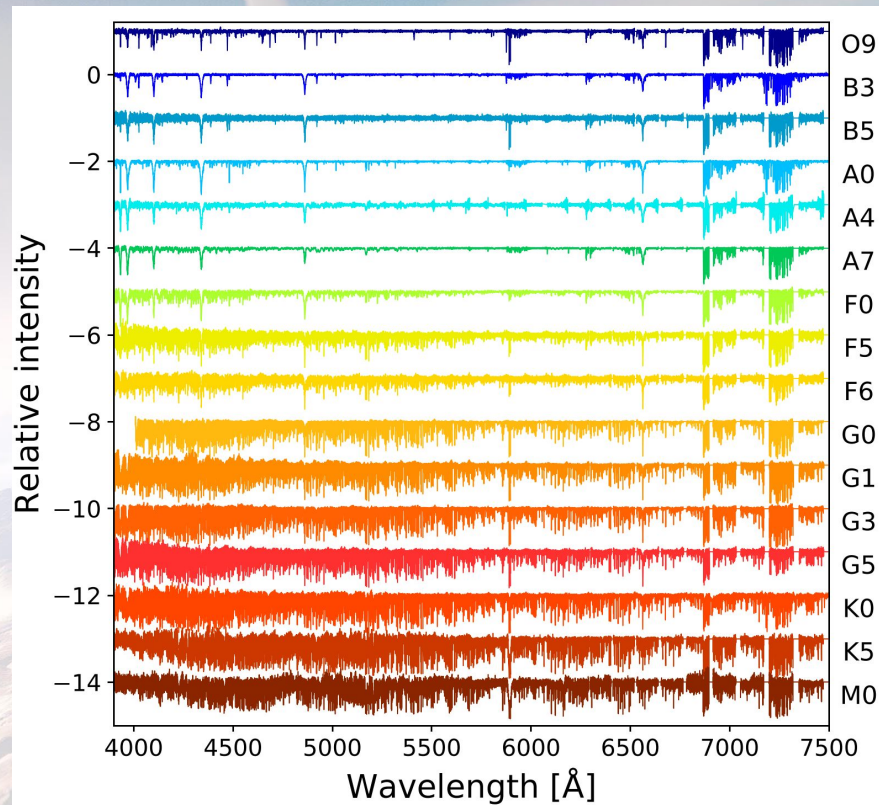


Od pozorování k finálnímu spektru

Sešití spektra (spojení normalizovaných řádů)



U OES problém - řády v červené oblasti se nepřekrývají



Měření radiálních rychlostí exoplanet

Hvězda a planeta obíhají okolo společného středu hmotnosti

=> i hvězda vykonává nepatrný pohyb

=> z přesných měření polohy a rychlosti pohybu hvězdy je možné odhadnout přítomnost planety a její minimální hmotnost

Měření radiálních rychlostí exoplanet

Ze změny polohy spektrálních čar
("změna barvy")

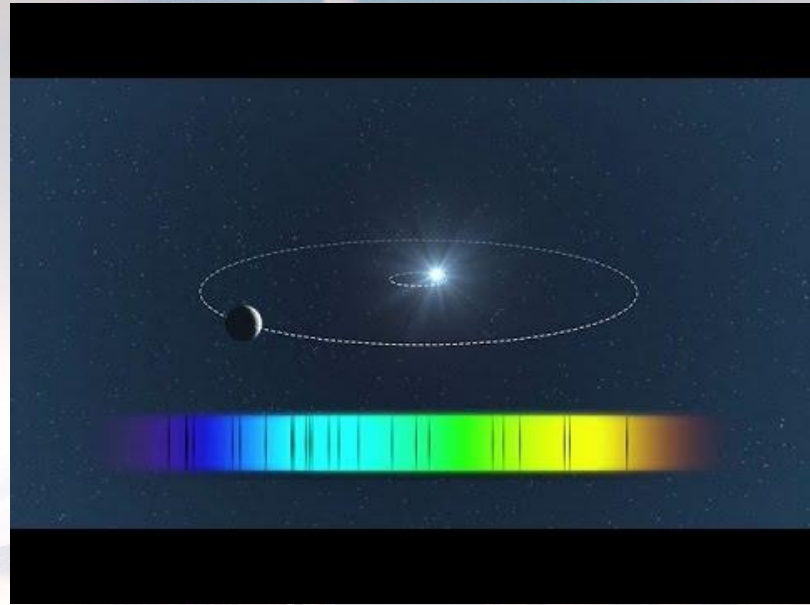
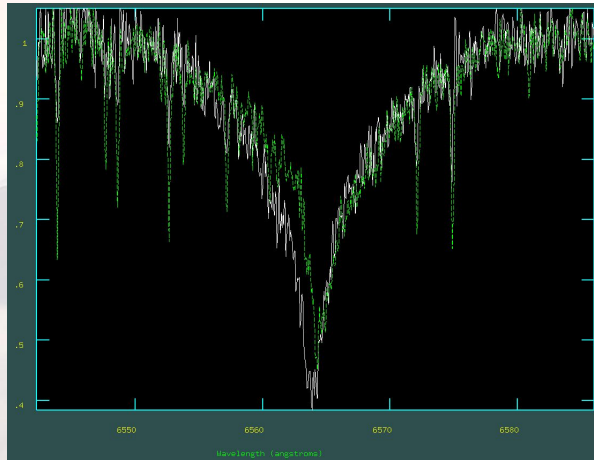
$$\frac{\Delta\lambda}{\lambda} = \frac{v}{c}$$

$$K_{\text{Zeme}} = 0.1 \text{ m/s}$$

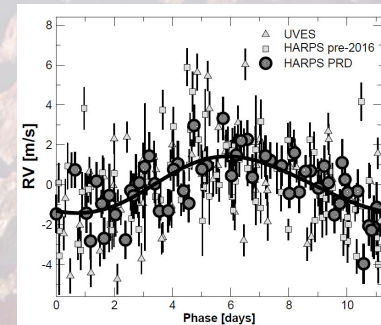
$$K_{\text{Jupiter}} = 13 \text{ m/s}$$

Měření extrémně náročné na stabilitu
přístrojů a metody zpracování

Objeveno cca 800 exoplanet

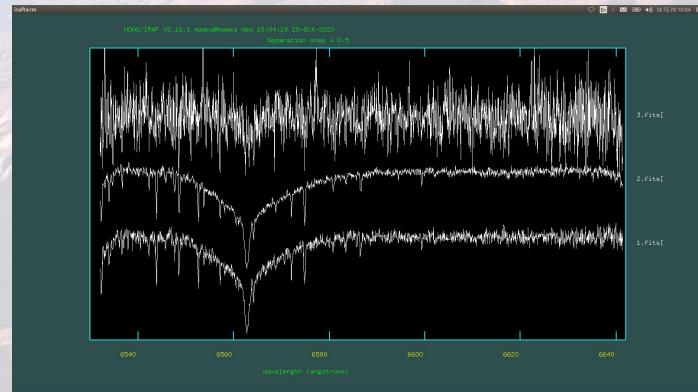
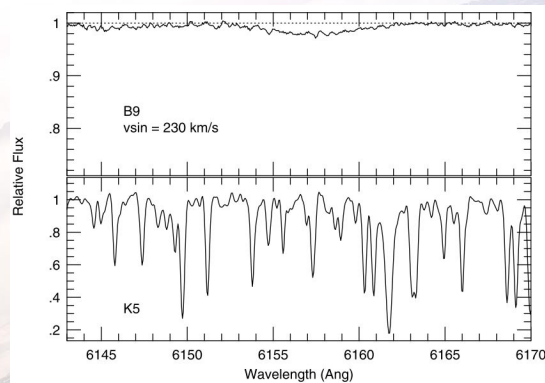
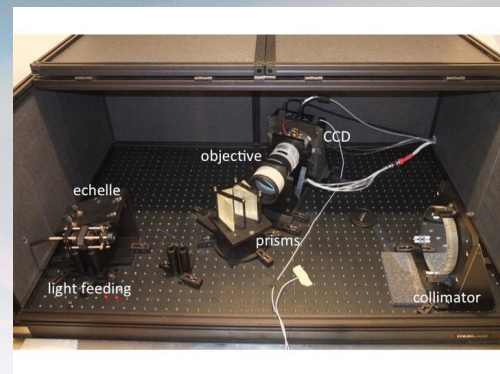
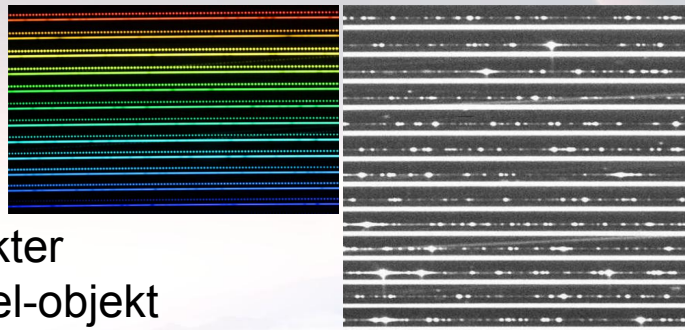


Amplitudy způsobené exoplanetami typicky $< 1 \text{ km/s}$
→ velmi malé posuvy (na 400 nm 0.0013 nm)
→ extrémní nároky na stabilitu spektrografu,
zpracování dat a analytické metody



Efekty ovlivňující přesná měření RV

- Přístroj
 - Stabilita (roztažnost elementů)
 - Vlastnosti jednotlivých elementů (mřížka, detektor)
- Způsob měření a kalibrace
 - Expoziční doba
 - Vlnová kalibrace
- Zpracování a analýza
 - Extrakce a úprava spekter
- Vzájemný pohyb pozorovatel-objekt
- Objekt samotný
 - Jasnost
 - Vlastní pohyb
 - Rotace
 - Spektrální typ



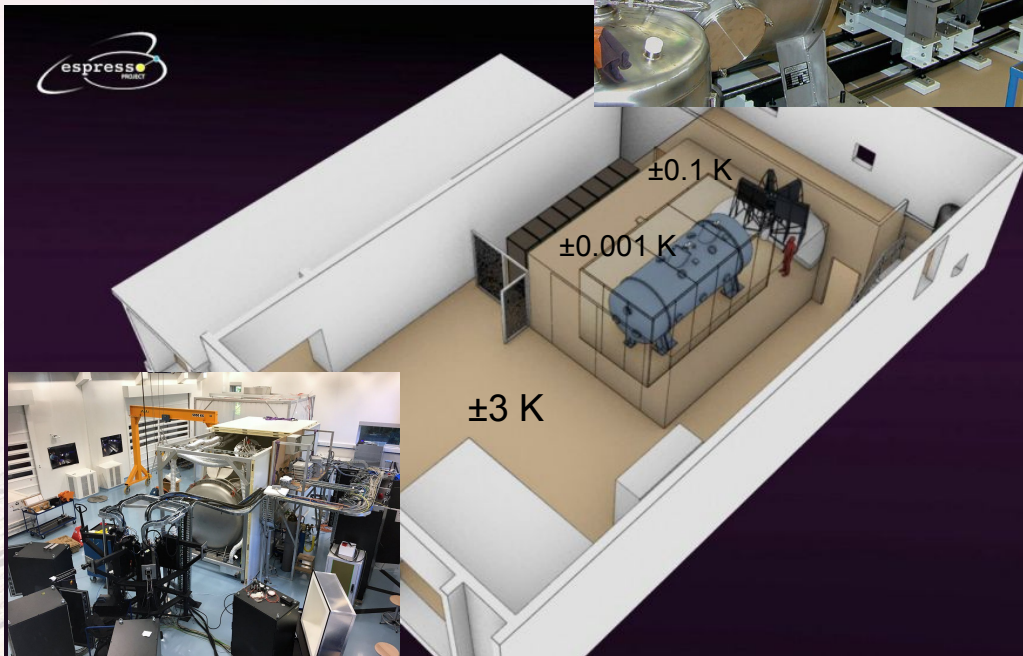
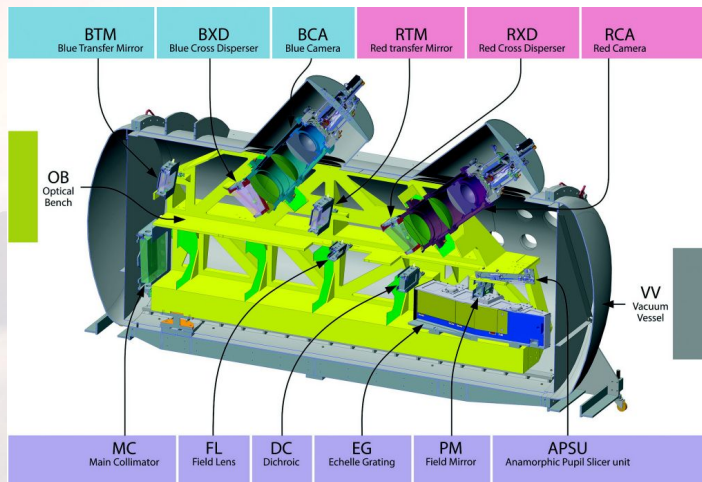
Efekty ovlivňující přesná měření RV

- Přístroj
 - Stabilita (roztažnost elementů)
 - Vlastnosti jednotlivých elementů (mřížka, detektor)

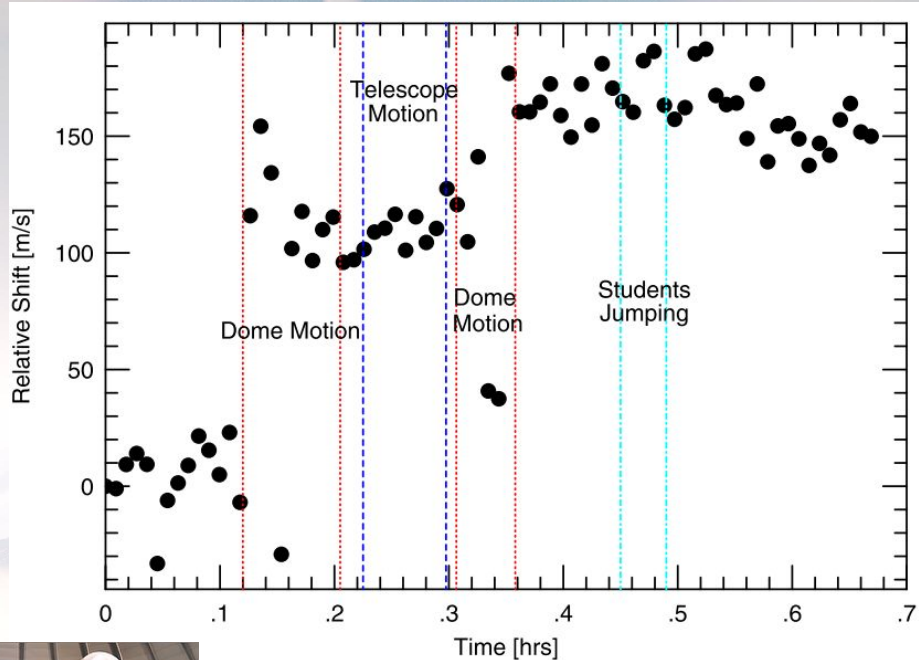
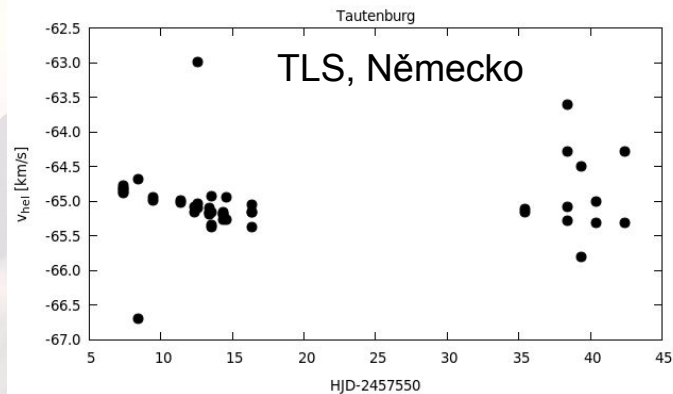
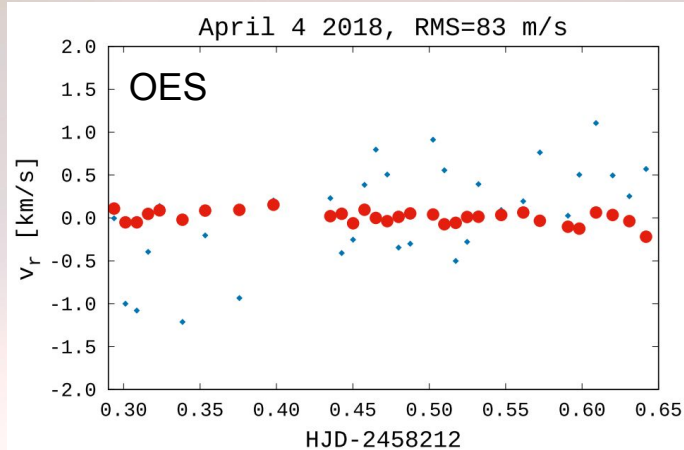
HARPS@3.6mLaSilla:
 $\delta T \sim 0.01 \text{ K}$, $p \sim 10^{-5} \text{ bar}$



ESPRESSO@VLT:
 $\delta T \sim 1 \text{ mK}$, $p \sim 10^{-8} \text{ bar}$

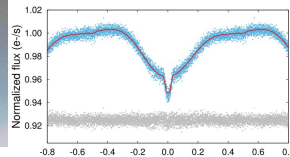


Efekty ovlivňující přesná měření RV

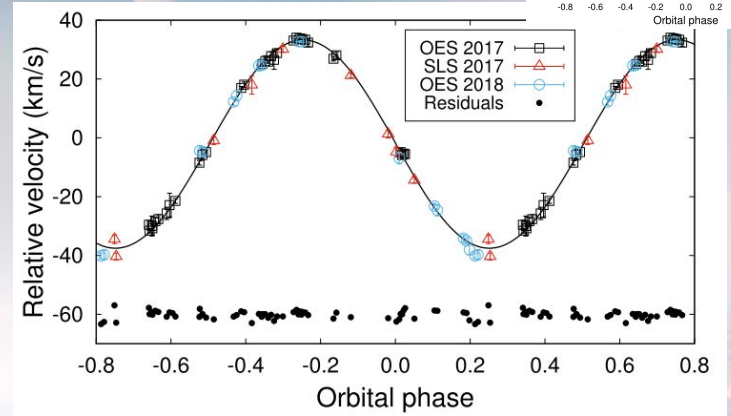
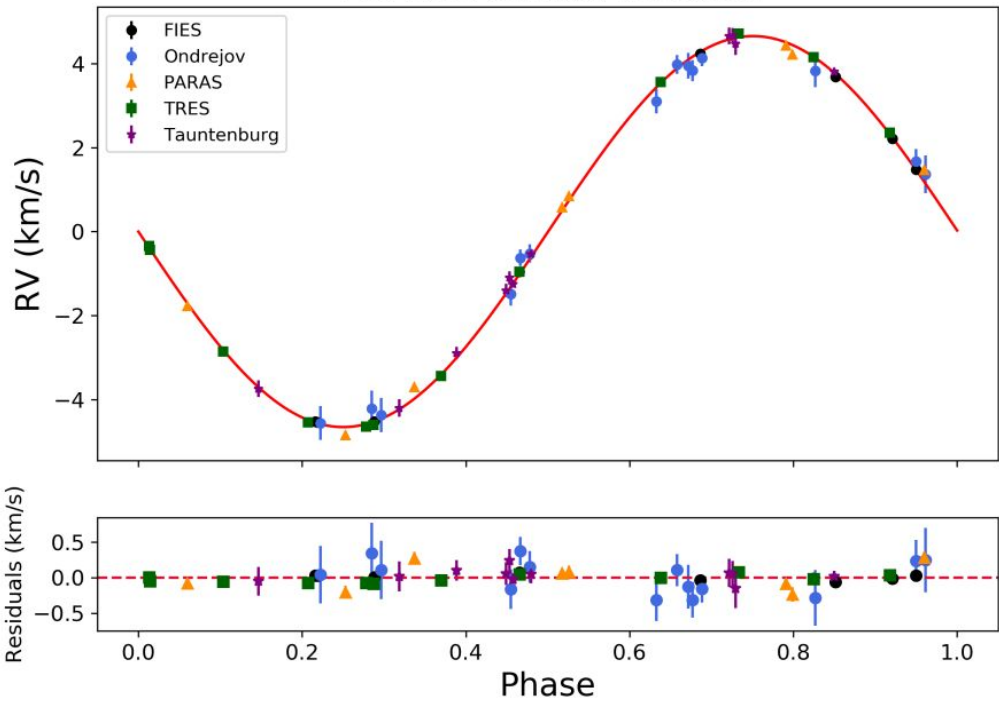


Je potřeba dobře eliminovat vlivy prostředí a instrumentální jevy

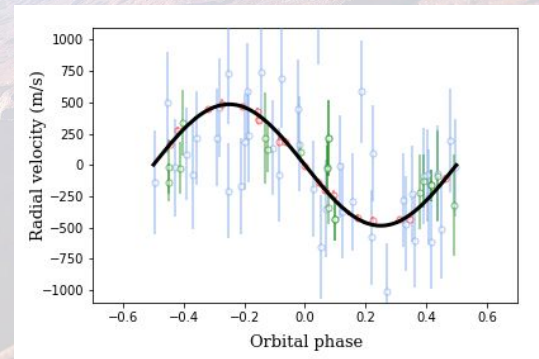
Výsledky z Ondřejova



TOI-503 orbital solution



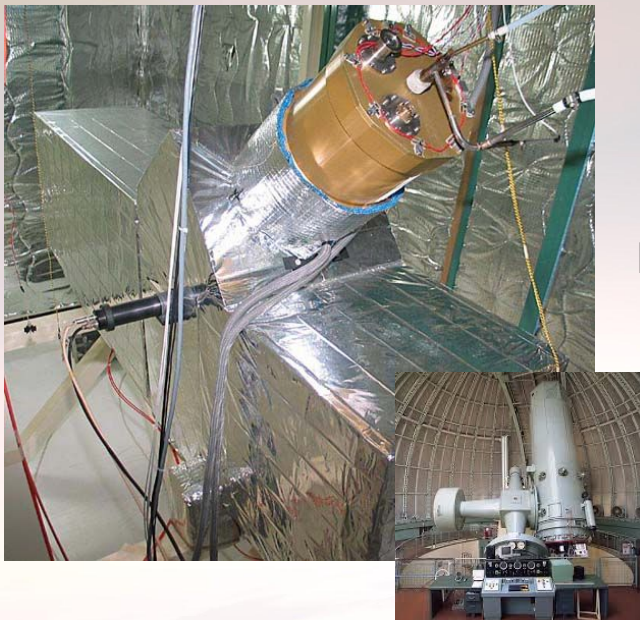
Skarka et al. 2019, MNRAS, 487, 4230 – první mCP hvězda v zákrytové dvojhvězdě



Kabáth et al. 2021, v přípravě

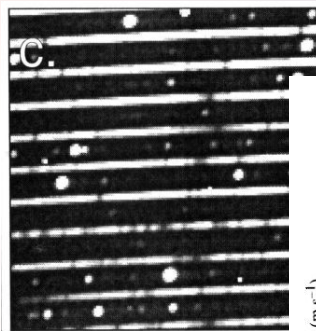
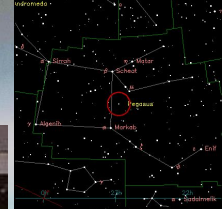
Šubjak et al. 2020, AJ, 159, 151 – první BD z TESS u Am hvězdy

Objev první exoplanety (1995)

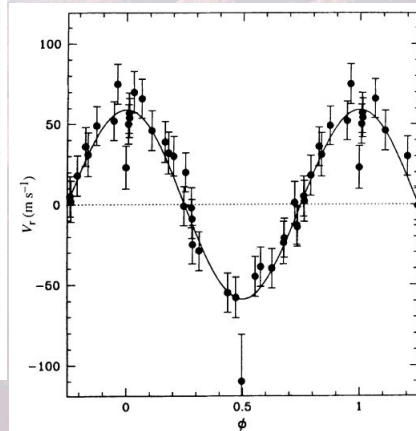
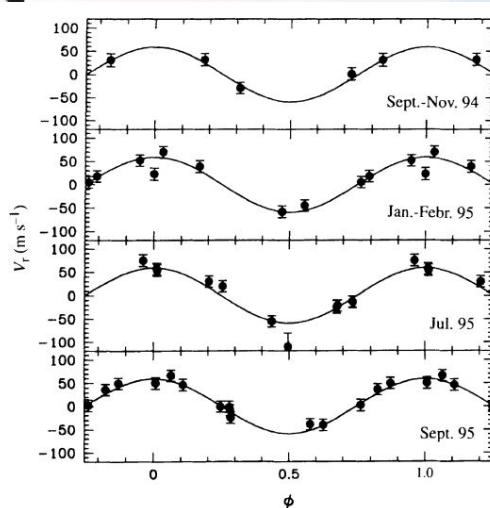


51 Peg b, pozorování s 1.9m dalekohledem na observatoři Haute Provence ve Francii

Nobelova cena za Fyziku 2019



M. Mayor & D. Queloz



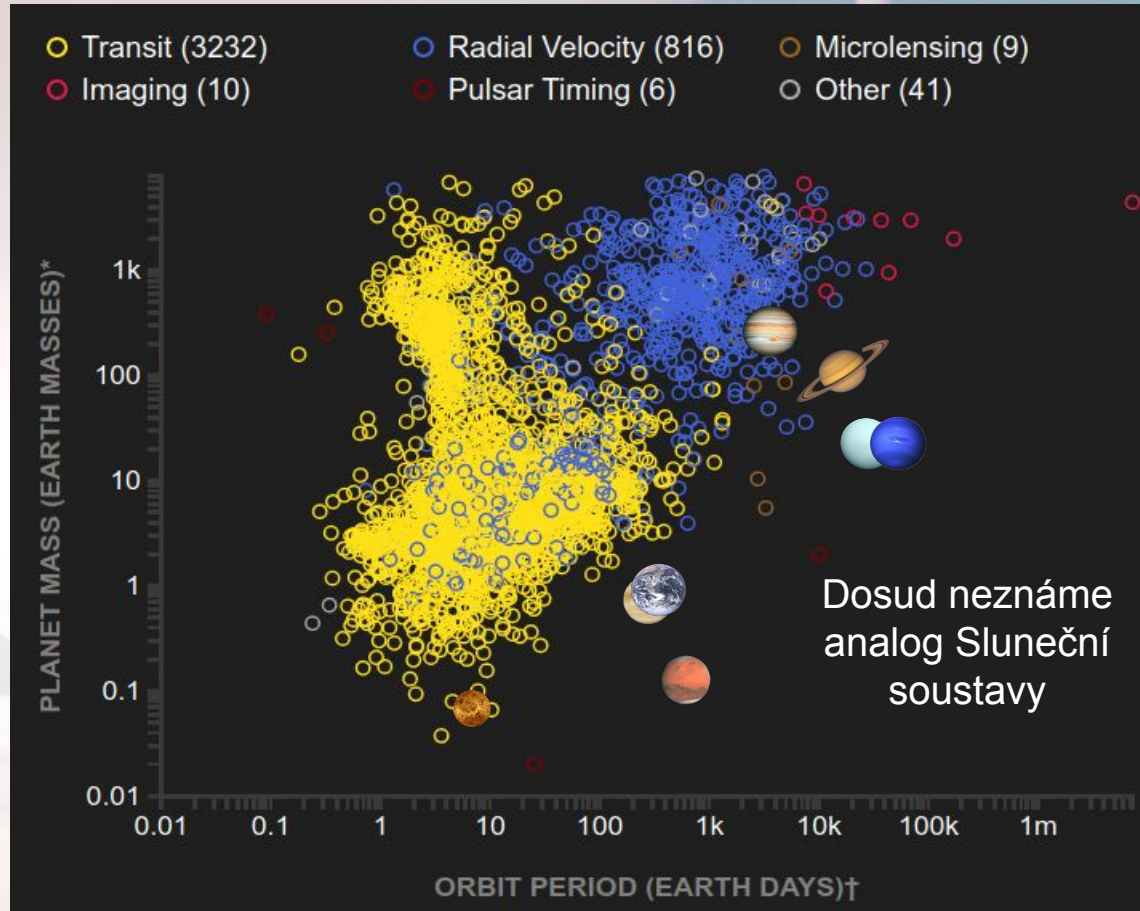
A Jupiter-mass companion to a solar-type star

Michel Mayor & Didier Queloz

Geneva Observatory, 51 Chemin des Maillettes, CH-1290 Sauverny, Switzerland

The presence of a Jupiter-mass companion to the star 51 Pegasi is inferred from observations of periodic variations in the star's radial velocity. The companion lies only about eight million kilometres from the star, which would be well inside the orbit of Mercury in our Solar System. This object might be a gas-giant planet that has migrated to this location through orbital evolution, or from the radiative stripping of a brown dwarf.

Současný stav poznání

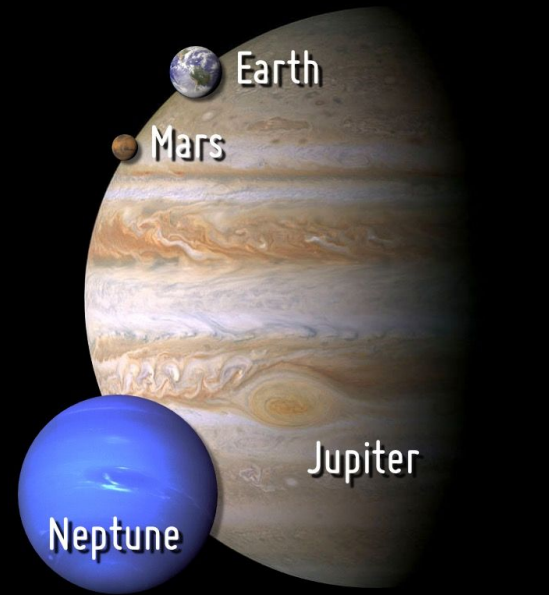
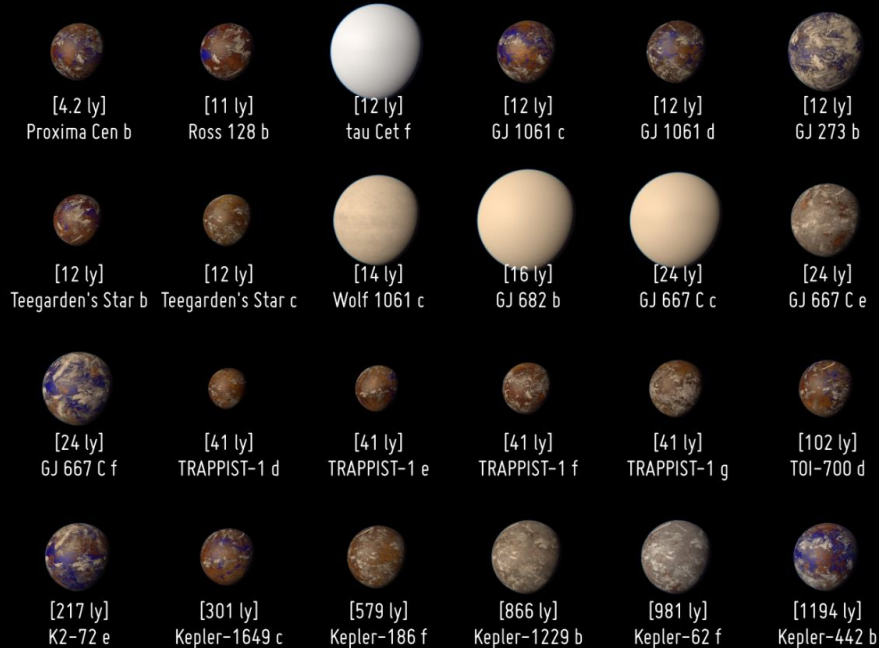


Současný stav poznání

Potentially Habitable Exoplanets



Ranked by Distance from Earth (light years)



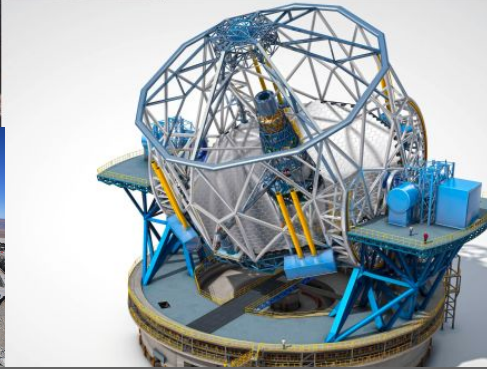
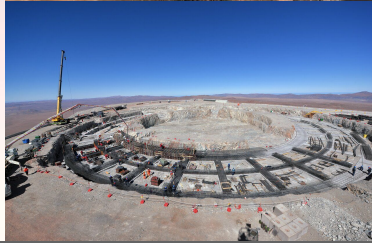
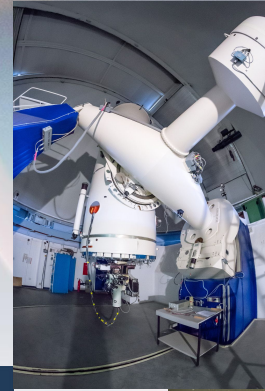
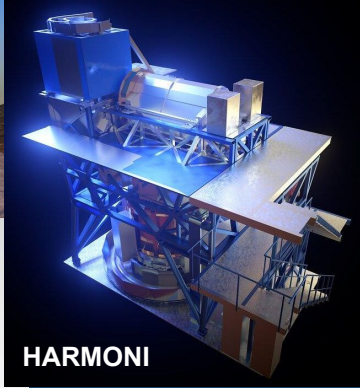
Artistic representations. Earth, Mars, Jupiter, and Neptune for scale. Distance from Earth is between brackets.

Current Number of Potentially Habitable Exoplanets			
Subterranean (Mars-size)	Terran (Earth-size)	Superterran (Super-Earths or Mini-Neptunes)	Total
1	23	36	60

Evropský extrémně velký dalekohled - E-ELT;
Průměr zrcadla 40 m!

Budoucnost

PLATOSpec@1.52m,
La Silla, Chile



JWST, 2021?

100 m

80 m

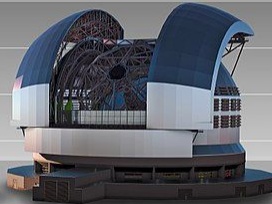
60 m

40 m

20 m



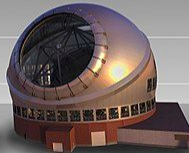
Very Large Telescope



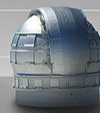
Extremely Large Telescope



Keck Telescope



Thirty Meter Telescope



Gran Telescopio
Canarias



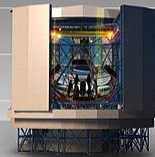
Subaru Telescope



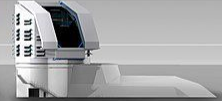
South African
Large Telescope



New Technology
Telescope



Giant Magellan Telescope



Large Synoptic Survey Telescope

A scenic view of a planet's surface, likely Mars, with a large, thin crescent moon in the sky. The landscape is rugged and rocky, with a hazy atmosphere. The text is overlaid on the image.

Děkuji za pozornost

**Dotazy?
Komentáře?**